

T.C.
CUMHURİYET ÜNİVERSİTESİ
FEN BİLİMLERİ ENSTİTÜSÜ

BİR BOYUTLU SİSTEMLERDE EKSİTONLAR

T-121571

Metin GÜNEŞ

YÜKSEK LİSANS TEZİ
FİZİK ANABİLİM DALI

Haziran 2002

T.C. YÜKSEKOĞRETİM KURULU
DOKÜMANTASYON MERKEZİ

Danışman: Doç. Dr. Hüseyin SARI

T.C.
CUMHURİYET ÜNİVERSİTESİ
FEN BİLİMLERİ ENSTİTÜSÜ

BİR BOYUTLU SİSTEMLERDE EKSİTONLAR

Metin GÜNEŞ

**YÜKSEK LİSANS TEZİ
FİZİK ANABİLİM DALI**

Haziran 2002

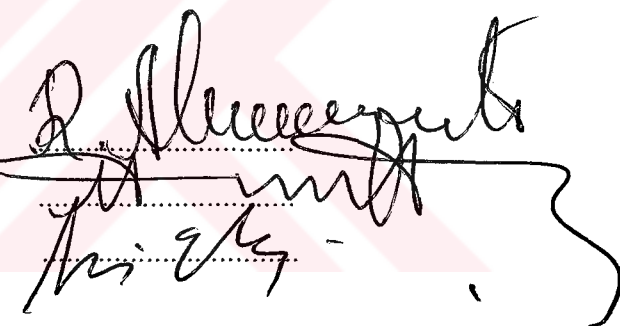
FEN BİLİMLERİ ENSTİTÜSÜ MÜDÜRLÜĞÜ' NE

Bu çalışma jürimiz tarafından, Fizik Anabilim Dalında Yüksek Lisans tezi olarak kabul edilmiştir.

Başkan: Prof. Dr. Rauf AMIROV

Üye: Doç. Dr. Hüseyin SARI

Üye: Doç. Dr. Sezai ELAGÖZ



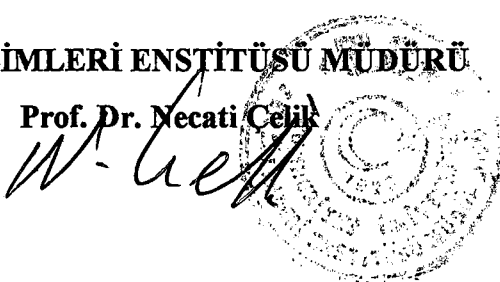
ONAY

Yukardaki imzaların adı geçen öğretim üyelerine ait olduğunu onaylarım.

..../..../2002

FEN BİLİMLERİ ENSTİTÜSÜ MÜDÜRÜ

Prof. Dr. Necati Celik



Bu tez, Cumhuriyet Üniversitesi Senatosunun 05.01.1984 tarihli toplantısında kabul edilen ve daha sonra 30.12.1993 tarihinde C.Ü. Fen Bilimleri Enstitüsü Müdürlüğüunce hazırlanan ve yayınlanan ‘Yüksek Lisans ve Doktora tez yazım kılavuzu’ adlı yönergeye göre hazırlanmıştır.

ÖZET
Yüksek Lisans Tezi

BİR BOYUTLU SİSTEMLERDE EKSİTONLAR

Metin GÜNEŞ

Cumhuriyet Üniversitesi

Fen Bilimleri Enstitüsü

Fizik Bölümü

Haziran-2002

Danışman: Doç. Dr. Hüseyin SARI

Bu çalışmanın ilk aşamasında düşük boyutlu sistemler hakkında genel bilgi verilmiştir. Daha sonra simetrik ve asimetrik çiftlenimli $GaAs-Ga_{1-x}Al_xAs$ kuantum telinde taban durumdaki eksitonun bağlanma enerjisinin tel genişliği (L_x), tel kalınlığı (L_z) ve engel genişliği (L_b) ile değişimi etkin kütle yaklaşımı çerçevesinde varyasyonel yöntemle incelenmiştir.

ANAHTAR KELİMELER: Eksitonik Bağlanma, Çiftlenimli Kuantum Teli, Düşük Boyutlu Sistem

SUMMARY
MSc Thesis

EXCITONS IN ONE DIMENSIONAL SYSTEM

Metin GÜNEŞ
Cumhuriyet University
Graduate School of Natural and Applied Sciences
Department of Physics
June-2002

Supervisor: Assoc. Prof. Dr. Hüseyin SARI

In this study first, general information about low dimensional systems is given. Then, the variation of ground state exciton binding energy in symmetric and asymmetric coupled $GaAs - Ga_{1-x}Al_xAs$ quantum wires with wire width (L_x), wire thickness (L_z) and barrier width (L_b) is investigated variationally within effective mass approximation.

KEY WORDS: Excitonic Binding, Coupled Quantum Wire, Low Dimensional System

TEŞEKKÜR

Konu seçimimde ve çalışmalarımın her aşamasında bilgi ve deneyimlerinden faydalandığım danışman hocam Sayın Doç.Dr.Hüseyin Sarı'ya, tez çalışmanın başlangıcından bitimine kadar her konuda bana yardım eden hocam Yrd. Doç.Dr. Esin Kasapoğlu'na teşekkür ederim. Ayrıca değerli fikirleriyle tezime katkıda bulunan Arş.Gör. Murat Bursal'a, tüm çalışmalarımda bana hep destek olan E.Gülşen Güneş'e, diğer araştırma görevlisi arkadaşlarımı ve aileme teşekkür ederim.

İÇİNDEKİLER

ÖZET.....	i
SUMMARY.....	ii
TEŞEKKÜR.....	iii
ŞEKİLLER DİZİNİ.....	v
TABLOLAR DİZİNİ.....	vii
1. GİRİŞ.....	1
2. DÜŞÜK BOYUTLU SİSTEMLER	4
2.1 Giriş	4
2.2 Eksitonlar	6
2.3 Heteroyapılar.....	12
2.4 Kuantum Kuyuları	21
2.5 Kuantum Telleri	24
3. ÇİFTLENİMLİ $GaAs-Ga_{1-x}Al_xAs$ KUANTUM TELLERİNİN ELEKTRONİK VE EKSİTONİK YAPISI	27
3.1 Giriş	27
3.2 Çiftlenimli $GaAs-Ga_{1-x}Al_xAs$ Kuantum Tellerinde Eksiton Bağlanması	29
3.3 Simetrik Çiftlenimli $GaAs-Ga_{1-x}Al_xAs$ Kuantum Telinde Eksitonik Bağlanması	34
3.4 Asimetrik Çiftlenimli $GaAs-Ga_{1-x}Al_xAs$ Kuantum Telinde Eksitonik Bağlanması	37
4. SONUÇ.....	53
5. KAYNAKLAR	55
6. ÖZGEÇMİŞ	58

ŞEKİLLER DİZİNİ

- Şekil 2-1. (a) Eksiton, bağlı bir elektron-boşluk çifti olup genelde kristal içinde serbestçe dolaşabilir. Bazı yönlerden, bir pozitronla elektronadan oluşan pozitronyum atomuna benzer. Şekilde gösterilen Mott-Wannier tipi eksiton zayıf bağlı olup elektron-boşluk uzaklığı örgü sabitine kıyasla büyüktür.(b) Alkali halojen kristalinde bir atom etrafında sıkı yerleşmiş sıkı bağlı bir Frenkel eksitonu kristal içinde, boşluk elektronun çok yakınında bir dalga gibi dolaşır..... 7
- Şekil 2-2. İletkenlik ve valans bant kiyıları $\vec{k} = 0$ da olan bir bant yapısında, eksiton düzeylerinin iletkenlik bant kiyısına göre konumları. 8
- Şekil 2-3. Doğrudan bir olayda yaratılan eksitonun enerji düzeyleri. Valans bandının üst ucundan olan geçişler oklarla gösterilmiş olup en uzun ok aralık enerjisine karşılık gelir. 9
- Şekil 2-4. 21 K sıcaklıkta $GaAs$ 'ta, E_g bant aralığı civarında enerjiye sahip fotonların yarıiletkende optik soğurulmasında eksiton düzeyinin etkisi. Düşey ölçek $I(x) = I_0 \exp(-\alpha x)$ ifadesindeki α soğurma katsayısıdır. Soğurulma eğrisinin biçiminden aralık enerjisi ve eksiton bağlanma enerjisi elde edilebilir. E_g aralığı 1.521 eV ve eksiton bağlanma enerjisi 0.0034 eV bulunur..... 10
- Şekil 2-5. (a) Birbirine eklenmemiş farklı iki yarıiletkenin bant diyagramı. (b) Örgü sabitleri özdeş 1 ve 2 yarıiletkenlerinin bantlarının eklenmesi ile heteroyapının oluşturulması. Burada ΔE_v ve ΔE_c sırasıyla valans ve iletim bandındaki süreksizliklerdir. Materyallerin katkısız ve ara yüzeyde yük transferi etkisinin az olduğu kabul edilmiştir. E_{g1} ve E_{g2} temel bant aralıklarıdır. 14
- Şekil 2-6. $GaAs - Ga_{0.7}Al_{0.3}As$ (n-tipi) heteroyapıda iletim bandı eğiminin gösterimi. ΔE_c saf yapının bant süreksizliğidir. Kesikli çizgilerle heteroyapının $GaAs$ bölümünde kuşatılmış durumlar belirtilmiştir. ..17

Şekil 2-7. Bant süreksizliğine göre heteroyapı türleri.....	18
Şekil 2-8. Heteroyapılar için rezonans tünelleme modeli.....	20
Şekil 2-9. (a) $GaAs$ ve $Ga_{1-x}Al_xAs$ ile oluşturulan heteroyapı. (b) $GaAs$ - $Ga_{1-x}Al_xAs$ kuantum kuyusunun elektronik yapısı.....	21
Şekil 2-10. (a) $GaAs$ kuantum teli (b) $GaAs$ kuantum telinin iletim bant diyagramı (ΔE_c , $GaAs$ ile $Ga_{1-x}Al_xAs$ arasındaki iletim bant süreksizliğidir)....	24
Şekil 3-1. Çiftlenimli kuantum telinde iletkenlik ve valans bandının x ve z doğrultularındaki şematik gösterimi	30
Şekil 3-2. Simetrik çiftlenimli $GaAs$ - $GaAlAs$ kuantum telinde eksiton bağlanma enerjisinin L 'ye göre değişimi	35
Şekil 3-3. Simetrik çiftlenimli $GaAs$ - $GaAlAs$ kuantum telinde eksiton bağlanma enerjisinin engel genişliği L_b 'ye göre değişimi	36
Şekil 3-4. Asimetrik çiftlenimli $GaAs$ - $GaAlAs$ kuantum telinde eksiton bağlanma enerjisinin L_z 'ye göre değişimi ($L_x = 10 \text{ \AA}$).....	38
Şekil 3-5. Asimetrik çiftlenimli $GaAs$ - $GaAlAs$ kuantum telinde eksiton bağlanma enerjisinin L_z 'ye göre değişimi ($L_x = 20 \text{ \AA}$).....	39
Şekil 3-6. Asimetrik çiftlenimli $GaAs$ - $GaAlAs$ kuantum telinde eksiton bağlanma enerjisinin L_z 'ye göre değişimi ($L_x = 80 \text{ \AA}$).....	40
Şekil 3-7. Asimetrik çiftlenimli $GaAs$ - $GaAlAs$ kuantum telinde eksiton bağlanma enerjisinin L_z 'ye göre değişimi ($L_x = 200 \text{ \AA}$).....	41
Şekil 3-8. Asimetrik çiftlenimli $GaAs$ - $GaAlAs$ kuantum telinde eksiton bağlanma enerjisinin engel genişliği L_b 'ye göre değişimi ($L_x = 10 \text{ \AA}$)	43
Şekil 3-9. (a) Elektron ve boşluğun $L_{1z} = L_{2z} = 5 \text{ \AA}$ için taban durum dalga fonksiyonlarının genliğinin karesinin konuma ve L_b 'ye göre değişimi	44
Şekil 3-9. (b) Elektron ve boşluğun $L_{1z} = L_{2z} = 40 \text{ \AA}$ için taban durum dalga fonksiyonlarının genliğinin karesinin konuma ve L_b 'ye göre değişimi.....	45
Şekil 3-10. (a) Elektron ve boşluğun $L_{1z} = L_{2z} = 10 \text{ \AA}$ için taban durum dalga fonksiyonlarının genliğinin karesinin konuma ve L_b 'ye göre değişimi	46

Şekil 3-10. (b) Elektron ve boşluğun $L_{1z} = L_{2z} = 20 \text{ \AA}$ için taban durum dalga fonksiyonlarının genliğinin karesinin konuma ve L_b 'ye göre değişimi	47
Şekil 3-11. Asimetrik çiftlenimli $GaAs-GaAlAs$ kuantum telinde eksiton bağlanma enerjisinin engel genişliği L_b 'ye göre değişimi ($L_x = 20 \text{ \AA}$)	48
Şekil 3-12. Asimetrik çiftlenimli $GaAs-GaAlAs$ kuantum telinde eksiton bağlanma enerjisinin engel genişliği L_b 'ye göre değişimi ($L_x = 80 \text{ \AA}$)	49
Şekil 3-13. Simetrik çiftlenimli $GaAs-GaAlAs$ kuantum telinde $F(0)$ – overlap fonksiyonunun L 'ye göre değişimi	51
Şekil 3-14. Simetrik çiftlenimli $GaAs-GaAlAs$ kuantum telinde $F(0)$ – overlap fonksiyonunun engel genişliği L_b 'ye göre değişimi	52

TABLOLAR DİZİNİ

Tablo 1. Eksiton bağlanma enerjileri (meV)	8
Tablo 2. Bazı önemli heteroyapılar için valans bandı süreksizliğinin deneysel ve kuramsal sonuçları. δa külçe örgü sabiti farkıdır.....	15

1. GİRİŞ

Yarıiletkenlerin elektronikte kullanılması, belki de katıhal fiziğinin 20. yüzyıl teknolojisine getirdiği en büyük katkıdır. Yarıiletkenler elektriksel iletkenlikleri metal ve yalıtkanlar arasında olan malzemelerdir. Bu malzemelerin iletkenlikleri; sıcaklık, optik uyarılmalar ve katkılama ile büyük ölçüde değişir. Yarıiletken materyallerin bu özelliği yani elektriksel özelliklerinin dış etkilerle değişebilir olması elektronik cihaz yapımında tercih nedenidir.

Bir yarıiletkeni metal ve yalıtkanlardan ayıran en temel özelliklerden birisi enerji bant aralığıdır. Bu aralık yarıiletken tarafından yayılan veya soğurulan ışığın dalga boyu ile belirlenir. Örneğin, *GaAs*'nın enerji bant aralığı yaklaşık 1.43 eV dir ve bu değer yakın kırmızı ötesi bölgesindeki elektromanyetik dalganın dalga boyuna karşılık gelir. Bunun tersine *GaP*'nın bant aralığı yaklaşık 2.3 eV dir. Bu değer spektrumun yeşil bölgesindeki kırmızı ötesi ve görünür bölgeye düşen dalga boylarında ışık yayan diyonlar (LED) ve lazerler yapılabilir. Yarıiletkenlerin elektronik ve optik özellikleri katkı atomları ile de belirgin bir şekilde değişir.

Son yıllarda yapay yarıiletken heteroyapılar üzerinde hem deneyel hem de kuramsal olarak yoğun çalışmalar yapılmıştır. Heteroyapılar, modern büyütme teknikleri kullanılarak kolayca büyütülebilin bir boyutlu kuantum kuyuları ve süperörgüllerden[1] başlayarak, büyütme tekniğindeki gelişmeler (epitaxy, etching ve lithography bileşimi) ile, yük taşıyıcılarının yapay olarak iki boyutta kuşatıldığı kuantum telleri ve üç boyutta kuşatıldığı kuantum kutularına kaydırılmıştır. Ayrıca bir boyutlu periyodik yapılarda ve kuantum kuyularındaki eksitonların araştırılması yoğun bir çalışma alanı oluşturmuştur. Eksiton bağlanma enerjisi hakkında bilgiler heteroyapılardaki elektronik özellikleri belirlemeye kullanılan fotoluminesans eksiton spektrumu ve fotoluminesans spektrumunu yorumlamada çok önemlidir. Eksiton bağlanma enerjisi elektron ve boşlukların kuşatılma etkilerinin kolayca görüldüğü ince tabakaların yapılması mümkün olduğu için de çok önemlidir. Örneğin, *GaAs*'ta eksiton rezonansı sadece çok düşük sıcaklıklarda

gözlenebilir. Oda sıcaklığında eksiton rezonansı çok zayıf ve bu yüzden gözlenemez.

Şimdiye kadar üzerinde çalışılan düşük boyutlu sistemler genellikle simetrik olarak alınmıştır. Fakat son yıllarda asimetrik düşük boyutlu sistemler üzerinde yapılan çalışmaların sonucunda uygulamada[2-9] önemli olan yeni özelliklerin olduğu görülmüştür. Yarıiletkenlerin lineer ve lineer olmayan optik özellikleri üzerine yapılan araştırmalar yarıiletken diyon, lazer ve iletişimde kullanılan optoelektronik cihazların uygulama alanlarının artmasıyla hız kazanmıştır. $GaAs - Ga_{1-x}Al_xAs$ sisteminin direkt bant aralığına sahip olması parçacıkların yeniden birleşmesini (recombination) çok verimli duruma getirir. Bu durum uygulama alanında[10] önemli bir avantaj sağlar. Bu fiziksel özellikler, çok hızlı açma-kapama devrelerinin yapımında oldukça önemlidir. Düşük boyutlu yapılardaki bir elektronun enerji spektrumunu incelemek son derece ilginçtir ve farklı potansiyel biçimli cihazların kuantum etkilerini, iletim olayını ve optik özelliklerini belirlemeye oldukça yararlıdır. Son yıllarda geniş bant aralığına sahip bileşik yarıiletken kuantum kuyularının optik özelliklerini belirlemek için birçok deneysel çalışmalar yapılmış ve bu materyallerde güçlü eksitonik etkiler ölçülmüştür[11-15].

Düşük boyutlu sistemlerin külçe yapılara göre üstünlüğü, bu sistemlerdeki boyut farklılığından kaynaklanır. Düşük boyutlu sistemlerde son derece dar ve iyi tanımlanmış enerji düzeylerini elde etmek mümkün değildir. Buna ek olarak bu sistemlerde elektron (veya boşluk) yoğunluğu istenildiği gibi değiştirilebilir. Üç boyutlu yarıiletken sistemlerde ise, yüksek taşıyıcı yoğunluğu elde etmek için birçok seçenek vardır. Sıcaklığı yükseltebilir ve taşıyıcıları termal olarak uyarabiliriz. Bunun sonucunda da iki tip taşıyıcı ve çok yüksek sıcaklıklarda fononların varlığına bağlı olarak daha çok saçılma olur. Benzer bir yaklaşım da yarıiletken üzerine bir ışık düşürülmesidir. Bu durumda yine iki tip taşıyıcı fakat daha az sayıda fonon oluşur. Ancak ışığın homojen olarak soğurulmamasından kaçınmak zordur. Bir başka yöntem olarak kristal, donor veya akseptörlerle katkılanabilir. Bu durumda tek tip yük taşıyıcıları oluşur, fakat bu taşıyıcıların aynı uzayda açık Coulomb merkezleri oluşturmaları istenmeyen bir durumdur.

Ayrıca eşit yük ve sayı yoğunluğuna sahip dengeleme yükü mobiliteyi önemli miktarda azaltır. Oysa iki boyutlu sistemlerde yük taşıyıcıları dengeleme yükten ayrı olarak uzayın farklı bölgelerinde lokalize oldukları için yukarıda sözü edilen olumsuzluklar söz konusu olmaz. İki boyutlu sistemlerin ilginç olmaları elektronik özelliklerinden kaynaklanır. Bu sistemlerde tek taşıyıcı sistemlerinin yaşam süreleri artırılabilir ve yük taşıyıcılarının yoğunluğu değiştirilebilir. Ayrıca yarıiletken mikroyapılar, elektronik cihazların hızlarının artırılmasında da çok önemli etkilere sahiptir. Bu devre elemanlarının boyutlarının çok küçük olması elektron iletişim için gereken net zamanı doğal olarak çok kısaltır. Bu nedenle çok daha küçük boyutlu elektronik cihazların oluşturulması konusunda yoğun çalışmalar yapılmaktadır.

Katkılı yarıiletken heteroyapılar da uygulama alanında yeni olanaklar sağlarlar. Örneğin, bu yapılarda mobilite, modülasyon katkılama ile artırılabilir. Bu yöntem ile engel karakterinde olan bölge katkilanır, engeldeki donorlar iyonlaşarak bu bölgeden çekura doğru hareket ederler ve orada kuşatılırlar. Bu şekilde yük taşıyıcıları ve safsızlık iyonları ayrılmış olurlar. Böylece düşük sıcaklıklarda mobiliteyi azaltan safsızlık saçılması ortadan kalkmış olur. Ara yüzeye paralel doğrultudaki mobilite değeri, homojen katkıllanmış yapının mobilite değerinden oldukça büyuktur.

Bu çalışmada; çiftlenimli $GaAs-Ga_{1-x}Al_xAs$ kuantum telinin simetri özelliklerine bağlı olarak elektron-boşluk arasındaki eksitonik bağlanma etkin kütle çerçevesinde varyasyonel olarak incelenmiş, parçacıkların davranışları sistemin boyut parametrelerine ve simetrisine bağlı olarak araştırılmıştır. Bir boyutlu yarıiletken sisteme eksitonik yapıyı tanımlayan fonksiyon, varyasyonel fonksiyon (Gaussian-tip “orbital” fonksiyonu) ile parçacıkların kuantum telindeki kuşatılmalarını tanımlayan tam çözümlerin birleşiminden oluşmuştur.

2. DÜŞÜK BOYUTLU SİSTEMLER

2.1 Giriş

Kristal katıların fiziksel özellikleri, normal olarak örneklerin biçim ve büyüklüklerinden bağımsız katsayılar cinsinden belirlenebilir. Örneğin, özgül ısı siğası (birim kütte başına ısı siğası) katının kütlesi ile çarpıldığında o katının ısı siğasını veren bir katsayıdır. Katının boyutlarından biri veya birkaç yeterince azaltılırsa katının özellikleri artık bu katsayılar cinsinden verilemez. Böylece bu örnek düşük boyutlu bir sistem (Low Dimensional System) olarak tanımlanır. Düşük boyutlu sistemler fizikte indirgenen boyut sayısına göre sınıflandırılırlar. Örneğin; ince filmler iki boyutludur, çünkü sadece filmin kalınlığı küçültülmüştür, ince teller bir boyutludur, çünkü sadece uzunluğu büyektür, noktalar sıfır boyutludur, çünkü bu durumda üç boyutta kuşatma sağlanmıştır.

Düşük boyutlu sistemlerde örgü sabiti birbirine yakın farklı türde yarıiletkenler bir araya getirilerek yük taşıyıcılarının hareketleri uzamsal olarak sınırlanır. Bu sınırlamalar sonucu külçe materyalin sürekli enerji durumları yerine kuantum etkileri sonucu kesikli enerji değerleri elde edilir.

Üç boyutlu yapılarda yük taşıyıcı yoğunluğunu artırmabilmek için; sıcaklık arttırılabilir (ısisal uyarma), katıya ışık gönderilebilir veya yabancı atomlarla katkılama yapılabilir. Fakat bu yöntemlerin önemli dezavantajları vardır. Sıcaklık artırıldığında iki tür yük taşıyıcısı oluşur (elektron, boşluk), fakat sıcaklık yükseldikçe fonon saçılımaları artar. Kristal katıya ışık gönderilirse yine iki tür yük taşıyıcısı oluşur ama oluşan fonon sayısı azdır. Burada ise ışığın madde tarafından homojen soğurulması sağlanamaz. Katkılamada ise tek tip yük taşıyıcısı oluşur. Bu yöntemde Coulomb merkezlerinin oluşması, eşit yük ve eşit sayıdaki dengeleme yükünün mobiliteyi azaltması istenmeyen durumlardır.

Oysa yarıiletkenlerde, yük taşıyıcılarının hareket ettiği boyut azaltılırsa yük taşıyıcıları ve dengeleme yükü uzayın farklı bölgesinde lokalize olacağından yukarıdaki sorunlar çıkmaz. Ayrıca düşük boyutlu sistemlerde taşıyıcıların yaşam süresi ve yoğunluklarını değiştirmek daha kolaydır. Düşük boyutlu sistemlerde

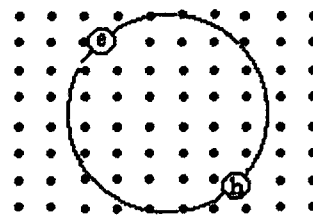
boyut azaldıkça taşıyıcıların yaşam süreleri artar. Bunun nedeni saçılmalının azalmasıdır. Üç boyutlu sistemlerde fonon saçılmalari enerji kaybının temel nedenidir. Durum yoğunluğu fonksiyonu sürekli olduğu için $\hbar\omega_0$ 'dan yüksek enerjili elektronlar saçılma ugurcalar. Taşıyıcıların yaşam süresi 1-2 ps kadardır. İki ve üç boyutlu yapılar arasındaki temel fark durum yoğunlukları arasındaki faktır. Boyut azaldıkça taşıyıcıların saçılma ugrama olasılıkları azalır ve bunun sonucunda taşıyıcıların yaşam süreleri artar. İki boyutlu yapılardaki taşıyıcıların yaşam süresi 10 ps civarındadır. Bir boyutlu yapılardaki taşıyıcıların yaşam süresi ise 100 ps civarındadır. Yük taşıyıcı yoğunluğu arttıkça yaşam süresi artar. Çünkü, taşıyıcı konsantrasyonu arttıkça saçılma potansiyeline karşı perdeleme etkisi gösterir. Düşük boyutlu sistemlerde parçacığın bulunduğu kuantum çukurundan tünelleme süresi yaşam süresine göre daha uzun olduğu için tünelleme olayı ihmali edilebilir.

Düşük boyutlu sistemlerin önemi sistemin fiziksel parametrelerinin ayarlanabilir olmasıdır. Örneğin, iki boyutlu sistemlerde optik özellikler kuşatılmış durumlara duyarlı bir biçimde bağlıdır. Sözü edilen bu durumlar ise, kuantum kuyusunun ayarlanabilir parametreleri olan kuyu genişliği ve engel yüksekliğinin değiştirilmesi ile istenildiği biçimde elde edilirler. Heteroyapılarda yasak bant genişliği de ayarlanabilir olduğu için, sonuçta bu sistemlerde optiksel özelliklerin değiştirilmesi mümkünür. İki boyutlu sistemlerde kuantum kuyusunun fiziksel parametreleri değiştirilerek, sistemin optik özellikleri istenilen biçimde ayarlanabilir. Aynı şekilde bir boyutlu sistemlerde kuantum telinin ayarlanabilir fiziksel parametreleri kullanılarak, sistemin optik özellikleri daha hassas bir biçimde ayarlanabilir. Çünkü, kuantum tellerinde sistemin kuşatma boyutu arttırıldıgından ayarlanabilir parametrelerin sayısı daha fazladır. Ayarlanabilir parametrelerin artması da optik özelliklerin daha hassas bir biçimde ayarlanabilmesi anlamına gelir.

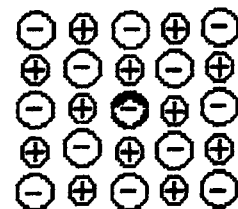
2.2 Eksitonlar

Yasak enerji aralığı E_g olan bir yarıiletken tizerine $E > E_g$ olan bir foton gönderilirse valans bandından iletkenlik bandına bir elektron uyarılır ve valans bandında bir boşluk (hole) yaratılır. Böylece elektron-boşluk çifti oluşturulmuş olur. Foton enerjisi bant aralığı enerjisinin hemen altında olduğu yani kristalin saydam olmasını beklediğimiz durumda, yansima ve soğurulma spektrumları beklenenden farklı bir yapı gösterir. Bu yapı, soğurulan bir fotonun bağlı bir elektron-boşluk çifti yaratmasından kaynaklanır. Elektron ve boşluk, aralarındaki Coulomb etkileşmesi nedeniyle, tipki hidrojen atomundaki elektron ve proton gibi bağlı duruma geçebilir. Aralarındaki Coulombic etkileşim sonucu birbiri etrafında yörüngeisel hareket eden elektron-boşluk çiftinin oluşturduğu sisteme eksiton denir. Bağlı elektron-boşluk çiftinin oluşturduğu eksiton Şekil 2-1'de gösterilmiştir. Bir eksiton kristal içinde dolaşıp enerji iletebilir. Ancak, nötr olduğu için elektrik yükü ilemez. Bir elektron ve pozitrondan oluşan pozitronium parçacığının bir benzeridir.

Yasak bant aralığı E_g olan direkt bant araklı bir malzemeye $E_g \geq \hbar\omega$ enerjili bir ışın düşürüldüğünde elektron-boşluk çifti oluşturulmuş olur. Soğurma sınırı E_g 'dir, ama elektron ve boşluk arası Coulombic etkileşim bu durumu değiştirir. Soğurma spektrumunda E_g 'nin hemen altında gözlenen dar pik eksitonların varlığının kanıdır.



(a)



(b)

Şekil 2-1. (a) Eksiton, bağlı bir elektron-boşluk çifti olup genelde kristal içinde serbestçe dolaşabilir. Bazı yönlerden, bir pozitronla elektrondan oluşan pozitronyum atomuna benzer. Şekilde gösterilen Mott-Wannier tipi eksiton zayıf bağlı olup elektron-boşluk uzaklığını örgü sabitine kıyasla büyültür.

(b) Alkali halojen kristalinde bir atom etrafında sıkı yerleşmiş sıkı bağlı bir Frenkel eksitonu kristal içinde, boşluk elektronun çok yakınında bir dalga gibi dolaşır.

Eksitonlar bir yalıtkan kristalde oluşabilirler. Dolaylı (indirekt) bir bant aralığı varsa, doğrudan bir bant civarındaki eksitonların serbest elektron ve boşluğa dönüşmesi engellenmiş olabilir. Tüm eksitonlar, en son aşama olan elektronun boşluğa dönüp onu yok etmesi olayına kararsızdır.

Kristal ortamında soğurulan bir fotonun enerjisi aralık enerjisinden büyükse her zaman bir elektron ve boşluk çifti oluşur. Doğrudan bir olayda bu sürecin eşik enerjisi $\hbar\omega > E_g$ dir. Fonon yardımıyla gerçekleşen dolaylı bir olayda

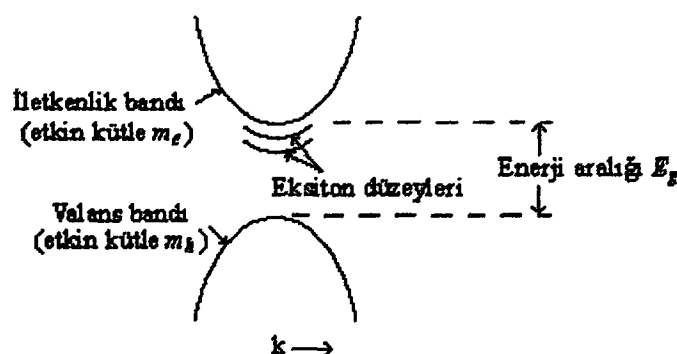
ise eşik enerjisi, fonon enerjisi $\hbar\Omega$ kadar daha azdır. Eksiton uyarılma eşik enerjisi, eksitonun bağlanma enerjisi nedeniyle, bu iki tür olayın eşik enerjilerinden daha düşüktür. Bu enerji değerleri bazı maddeler için Tablo 1'de gösterilmiştir.

Tablo 1. Eksiton bağlanma enerjileri (meV)

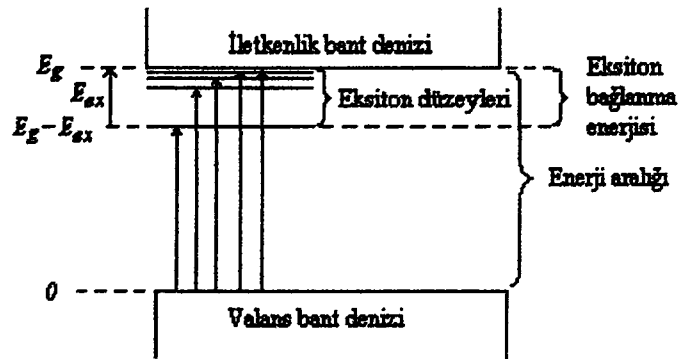
Si	14.7	InP	4.0	CdS	29
Ge	4.15	InSb	0.4	CdSe	15
GaAs	4.2	KI	480	TlCl	11
GaP	3.5	KCl	400	TlBr	6

Eksitonlar, denklem 2-1'deki kritik noktalardan herhangi birinde foton soğurulmasıyla yaratılabilirler, çünkü $\vec{\nabla}_k E_v = \vec{\nabla}_k E_c$ olduğunda elektron ve boşluğun grup hızları eşit olup, parçacıklar Coulomb etkileşmesiyle bağlanabilirler. Enerji aralığının altında eksiton oluşmasına yol açan geçişler Şekil 2-2 ve Şekil 2-3'te gösterilmiştir.

$$\vec{\nabla}_k [E_c(\vec{k}) - E_v(\vec{k})] = 0 \quad (2-1)$$



Şekil 2-2. İletkenlik ve valans bant kiyıları $\vec{k} = 0$ da olan bir bant yapısında, eksiton düzeylerinin iletkenlik bant kiyısına göre konumları.

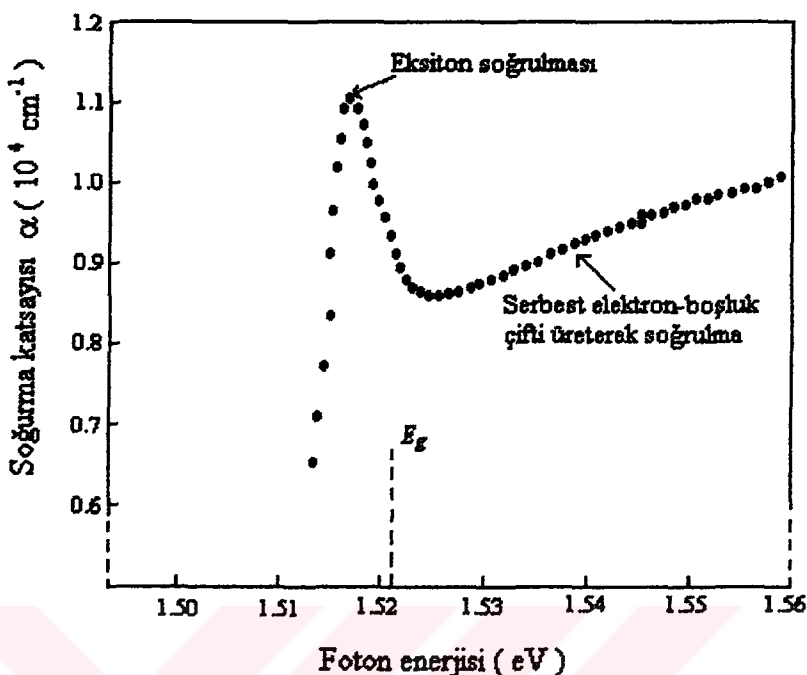


Şekil 2-3. Doğrudan bir olayda yaratılan eksitonun enerji düzeyleri. Valans bandının üst ucundan olan geçişler oklarla gösterilmiş olup en uzun ok aralık enerjisine karşılık gelir.

Serbest bir elektron ve boşluk çifti referans alırsa eksitonun bağlanma enerjisi E_{ex} olur. Mutlak sıfırda kristalin soğurma spektrumunda en düşük frekans E_{ex} değil $E_g - E_{ex}$ olur.

Eksitonların bağlanma enerjisi üç yolla ölçülebilir:

- Valans bandından optik geçişlerde, eksiton yaratılması için gerekli enerji ile, bir serbest elektron ve bir serbest boşluk yaratılması için gerekli enerjiler arasındaki fark karşılaştırılır (Şekil 2-4).
- Kombinasyon lüminesans deneylerinde, serbest elektron-boşluk yok olması enerjisi ile eksiton yok olma enerjisi karşılaştırılır.
- Foto-iyonlaşma yoluyla eksitonların serbest taşıyıcı durumuna geçişleri. Bu deney yüksek yoğunlukta eksitonlar gerektirir.



Şekil 2-4. 21 K sıcaklıkta $GaAs$ 'ta, E_g bant aralığı civarında enerjiye sahip fotonların yarıiletkende optik soğrulmasında eksiton düzeyinin etkisi. Düşey ölçek $I(x) = I_0 \cdot \exp(-\alpha x)$ ifadesindeki α soğurma katsayısidır. Soğurulma eğrisinin biçiminden aralık enerjisi ve eksiton bağlanması enerjisi elde edilebilir. E_g aralığı 1.521 eV ve eksiton bağlanması enerjisi 0.0034 eV bulunur.

Eksitonlar iki limite incelenir. Eksitonların sayıca az ve sıkı bağlı olduğu Frenkel limite ile, eksitonların zayıf bağlı ve elektron-boşluk mesafesinin örgü sabitine göre büyük olduğu Mott-Wannier limite.

$GaAs - Ga_{1-x}Al_xAs$ kuantum çukurlarında soğurma ve ışına spektrumlarda eksitonik etkiler etkilidir. Özellikle saf yarıiletkenlerin düşük sıcaklıklı soğurma bant sınırı eksiton rezonans soğurmasına bağlıdır. Eksitonlar elektron ve boşlukların kuşatıldığı $GaAs$ katmanlarında oluşurlar. $GaAs$ ve birçok külçe yarıiletkende oda sıcaklığında eksiton rezonansı gözlenmezken kuantum çukurlarında oda sıcaklığında bile eksiton rezonansı gözlenebilir. Külçe yarıiletkenlerin optik spektrumunda eksitonların gözlenebilmesi için yarıiletkenin çok saf olması gereklidir. Çünkü, eksiton piki safsızlık potansiyelleri etkisiyle yayvanlaşır ve geçişlerin gözlenmesi için çok saf bir yarıiletken ve düşük

sıcaklıklar gereklidir. Dar yasak bant aralığına sahip yarıiletkenlerde eksitonların belirlenmesi daha zordur. Çünkü, eksiton bağlanması enerjisi çok küçüktür. Kuantum kuyularında eksiton bağlanması enerjisi külçe malzemedeki bağlanma enerjisine göre kuşatılma etkisiyle daha fazla artar. Bu nedenle eksiton rezonansı külçe malzemede görülmediği halde kuantum etkili bir kuşatılma yapılrsa görülebilir. Külçe malzemelerde eksitonların enerjileri Coulombic etkileşime nedeniyle yasak bant aralığından $2\text{-}6 \text{ meV}$ kadar azdır. Eksiton problemi farklı durumlar altında hidrojen atomunun incelenmesine benzerdir. Hidrojen atomunun yörüngelere yarıçapı yaklaşık 0.5 \AA iken külçe eksiton yörüngelere yarıçapı 300 \AA 'dur. Hidrojen atomunun taban enerjisi yaklaşık -13.6 meV iken eksitonun taban enerjisi -10 meV dir. Gerçekte hidrojen atomunun yörüngelere yarıçapının bu oranda değişmesi söz konusu değildir. Serbest taşıyıcılar elektron ve boşluk arasındaki Coulombic etkileşimin zayıflamasına yol açarak eksiton bağlanması enerjisinin azalmasına yol açar. Yani, serbest taşıyıcılar nedeniyle elektron-boşluk etkileşimi perdeleşenir.

2.3 Heteroyapılar

Birbirinden farklı iki yarıiletkenin bir araya getirilmesi ile oluşan yapıya yarıiletken literatüründe heteroyapı (heterostructure) adı verilir. İki farklı yarıiletkenin birbirine eklenmesi sonucunda, p ve n tipi katkılı malzemelerin eklemelerinde görülen bant bükülmeleri meydana gelmez. İletim ve valans bantlarının birbirlerine göre konumları sonucu bu bantlarda süreksızlıklar oluşur. Bu süreksızlıklar yük taşıyıcılarının belli bölgelerde kuşatılmalarına yol açar. Heteroyapıyı oluşturan külçelerin benzer yapıda olmaları, uygulamada önemli sonuçların alınmasını sağlar. Aynı zamanda bu koşul ile elektron dalga vektörünün ara yüzeyde değişmemesi de sağlanmış olur. Heteroyapıyı oluşturan bir yarıiletkenin kristal potansiyeli ile elektronik yapısının ara yüzey düzlemine kadar değişmediği kabul edilir. Ara yüzeyde elektronik yapı ve kristal potansiyel aniden diğer külçenin özelliklerini sergileyebilecek biçimde değişir. Zaten teknolojik uygulamada önemli olan yarıiletkenlerin çoğu aynı simetri grubuna sahip olduklarıdan, heteroyapı için kabul edilen koşullar sağlanmış olur. Genel olarak, külçelerin örgü sabiti heteroyapı oluşumu için uygunluk sabiti olarak değerlendirilir.

Heteroyapıyı oluşturan külçelerin dağıtım bağıntılarının ayrıntılarına bakmaksızın, ara yüzeyin her iki yanında bant yapısının yapıyı oluşturan külçelerin bant yapıları ile benzer olduğunu kabul ederek, heteroyapının elektronik dağılımını oluşturabiliriz. Başka bir anlatım ile, sistemimizin bant yapısını elde etmek için külçelerin enerji bantlarını bir araya getirebiliriz. Burada en önemli nokta ise, heteroyapıyı oluşturan külçelerin bant yapılarının konumlarıdır. Çünkü, iletim ve valans bantlarındaki kesiklikler bu konumlara bağlı olacaktır. Ara yüzeyin her iki kenarında ortalaması elektron yoğunluğunun aynı olduğu kabul edilirse, serbest elektron modeline göre Fermi enerjisi aynı zamanda her iki külçenin yasak bant aralığının ortasını temsil edecektir. Örgü sabitlerinin farklılığından kaynaklanan elektron yoğunlığındaki küçük fark, ara yüzeyden yük transferine neden olur. Sözü edilen yük transferi önelsiz büyüklükte olduğu için ihmal edilebilir. Böylece saf yarıiletkenler için yük

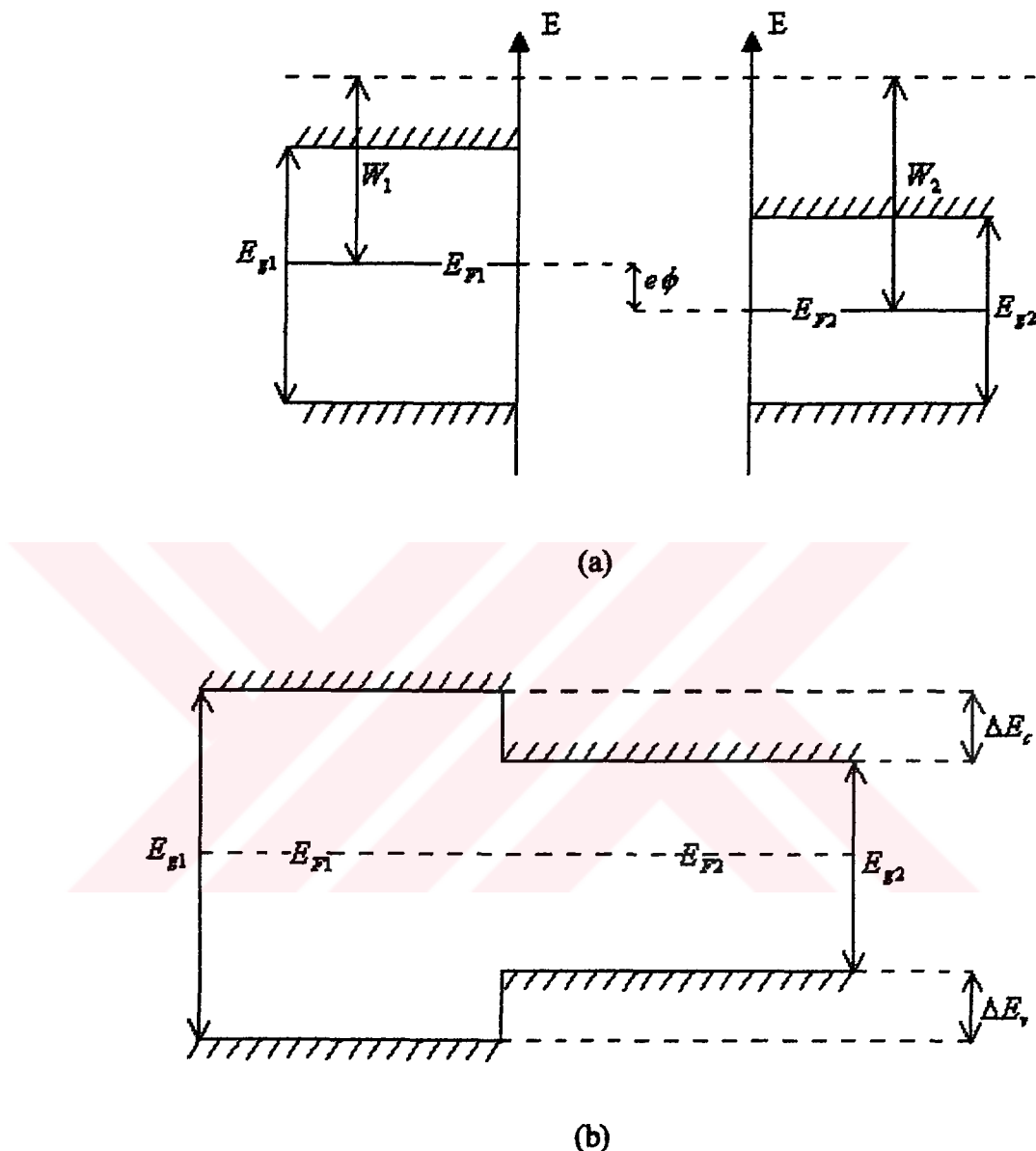
transferinin neden olduğu çift yüklü tabaka olgusu ara yüzey için ihmal edilir. Örgü sabitleri birbirine yakın olan iki yarıletkenin bant yapılarının toplamı Şekil 2-5'te şematik olarak gösterilmiştir. Burada külçelerin bant yapıları birbirlerine göre kaydırılarak Fermi düzeyleri eşit kılınmıştır.

Heteroyapıyı oluşturan yarıletkenlerin özdeş veya birbirine yakın örgü sabitine sahip olmaları durumunda, külçelerin Fermi enerjileri zamanla aynı düzeye ulaşırlar. Bunun sonucu olarak valans bandında oluşan kesiklilik ise $\Delta E_v = \frac{(E_{g1} - E_{g2})}{2}$ eşitliği ile verilir. Tablo 2'de önemli birkaç heteroyapı için

ΔE_v değerleri verilmiştir. Kuramsal sonuçların deneysel sonuçlar ile kıyaslanabilir büyülükte olduğu açıkça görülmektedir. İletim bandının karmaşık yapısından dolayı aynı yöntem ile iletim bandındaki kesiklilik sağlıklı bir biçimde elde edilemez. Fakat iletim bandındaki kesikliliği

$$\Delta E_c = |E_{g1}^f - E_{g2}^f| - |\Delta E_v| \quad (2-2)$$

eşitliği ile verme şansımız vardır. Burada E_{g1}^f ve E_{g2}^f külçelerin deneysel temel bant aralıklarıdır.



Şekil 2-5. (a) Birbirine eklenmemiş farklı iki yarıiletkenin bant diyagramı. (b) Örgü sabitleri özdeş 1 ve 2 yarıiletkenlerinin bantlarının eklenmesi ile heteroyapının oluşturulması. Burada ΔE_v ve ΔE_c sırasıyla valans ve iletim bandındaki süreksızlıklarıdır. Materyallerin katkısız ve ara yüzeyde yük transferi etkisinin az olduğu kabul edilmiştir. E_{g1} ve E_{g2} temel bant aralıklarıdır.

Eğer heteroyapıyı oluşturan yarıiletkenlerin ikisi de direkt bant aralıklı ise, ΔE_c , yukarıda verilen bağıntı ile kolayca hesaplanır. Fakat, eğer her iki yarıiletken direkt bant aralığı özelliğini taşımıyorsa, iletim bandındaki kesiklilik hesaplanırken aynı iletim bandı minimumlarının farkı alınmalıdır. Yani külçe bant diyagramında aynı k dalga vektörü ile tanımlı olmalıdır. Heteroyapılarda kullanılan süreklilik koşulu, elektronun ara yüzeyden geçerken k dalga vektörü ile kütlesinin değişmemesi olarak ifade edilebilir. *GaAs-AlAs* örneğinde olduğu gibi farklı bant aralığına sahip materyallerin oluşturduğu heteroyapılarda süreklilik koşulu, *GaAs* katmanının Γ bandında olan bir elektronun ara yüzeye yaklaşırken X bandı minimumunu (vadisini) görme olasılığının çok az olması durumunda sağlanmış olur.

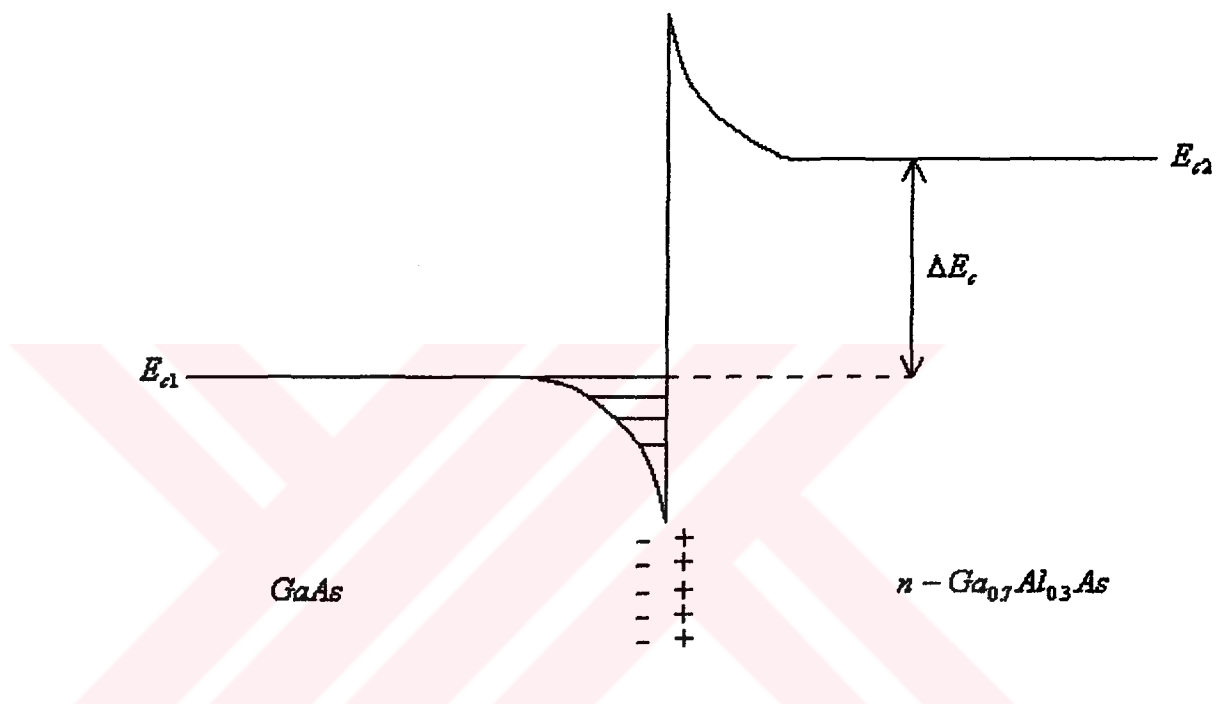
Heteroyapı	$\delta a(\text{\AA})$	$\Delta E_v (\text{eV})$	Deneysel $\Delta E_v (\text{eV})$
<i>GaAs-Ge</i>	0.00	0.47	0.56
<i>GaP-Si</i>	0.01	0.41	0.80
<i>AlAs-GaAs</i>	0.01	0.43	0.45
<i>AlAs-Ge</i>	0.01	0.89	0.95
<i>ZnSe-Ge</i>	0.00	1.51	1.52
<i>ZnSe-GaAs</i>	0.00	1.04	0.96
<i>CdTe-α-Sn</i>	0.01	1.22	1.00
<i>CdTe-InSb</i>	0.01	0.89	0.87
<i>CdTe-HgTe</i>	0.00	0.35	0.35
<i>InAs-GaSb</i>	0.05	0.20	0.46
<i>GaAs-InAs</i>	0.40	0.37	0.17

Tablo 2. Bazı önemli heteroyapılar için valans bandı süreksizliğinin deneySEL ve kuramsal sonuçları (δa külçe örgü sabiti farkıdır).

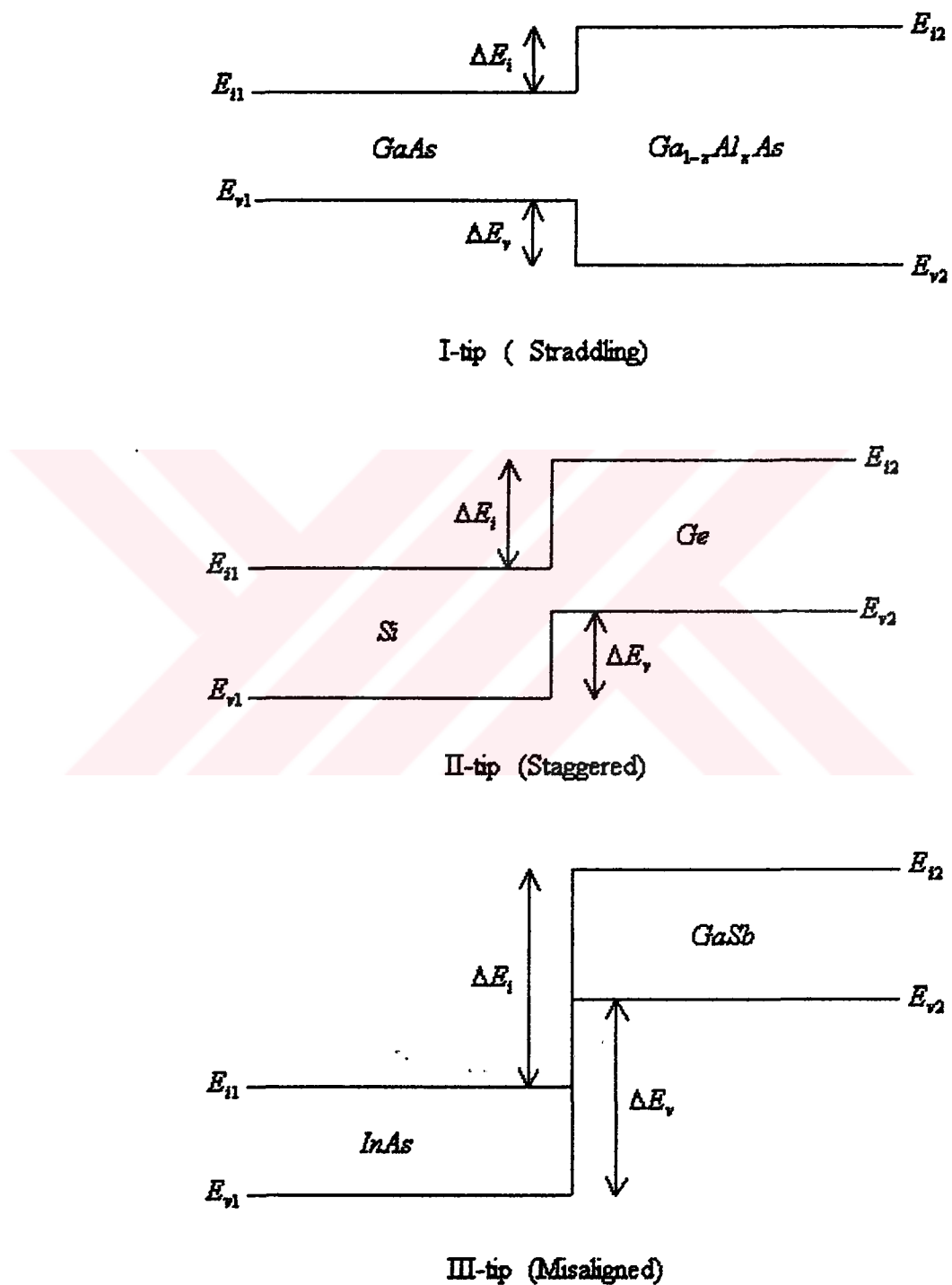
Aynı momentum dalga vektörüne karşılık gelen enerji düzeyleri arasında oluşan süreksizliğin heteroyapıda elektronların davranışları üzerindeki etkisini elektronların potansiyel engelinden geri yansımıası biçiminde tanımlayabiliriz. Bu basit model ile heteroeklem mikro yapılarda buna benzer etkileşmeler için yarınicel bir açıklama getirilebilir.

Heteroyapı bileşenlerinde katkı maddelerinin olması durumunda heteroyapıda bir uzay yükü bölgesi oluşur ve bant bükülmesine neden olur. Heteroyapı iki yarıiletkendenoluştuğu için, ara yüzeyin her iki yanında da uzay yükü potansiyeli sıfırdan farklıdır. Çift yüklü tabakanın neden olduğu potansiyeldeki uzamsal değişim iletim bandı kesikliliği üzerine eklenir(Şekil 2-6). $GaAs$ ve $Ga_{0.7}Al_{0.3}As$ iletim bantlarını ayıran heteroeklem engeli oldukça düşük olduğundan, parçacığın engel içine sızma olasılığı fazladır. Burada iki-boyutlu elektron gazı tabakası MOS yapıdakine göre oldukça büyüktür.

Heteroyapılar mikroyapıların yapımında temel eleman niteliğindedir. Düşük boyutlu yapılarda oluşan fizigin dayandığı anahtar parametre heteroyapıdaki bant süreksizliğidir. Yaniletken heteroyapılar bant süreksizliğine göre üç gruba ayrırlar. Bunlar I-tip (Straddling), II-tip (Staggered) ve III-tip (Misaligned) heteroyapılar olarak adlandırılırlar (Şekil 2-7).



Şekil 2-6. $GaAs-Ga_{0.7}Al_{0.3}As$ (n-tipi) heteroyapıda iletim bandı eğiminin gösterimi. ΔE_c saf yapının bant süreksızlığıdır. Kesikli çizgilerle heteroyapının $GaAs$ bölümünde kuşatılmış durumlar belirtilmiştir.

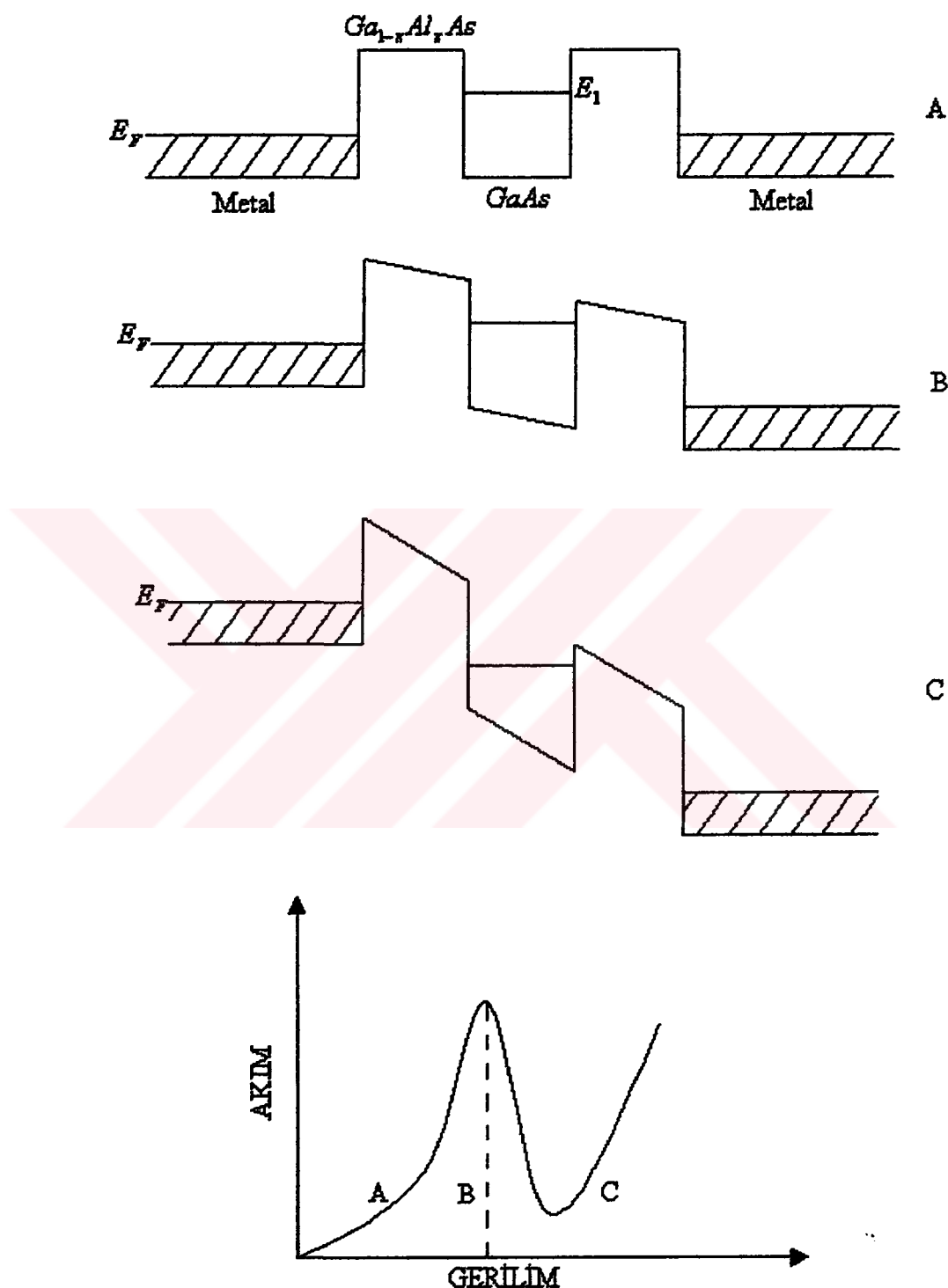


Şekil 2-7. Bant süreksizliğine göre heteroyapı türleri.

$GaAs-Ga_{1-x}Al_xAs$ I-tip heteroyapıya örnek verilebilir. Bu yapıda elektron ve boşluk $GaAs$ katmanında bulunurlar. II-tip (Staggered) heteroyapılarda, örneğin Si-Ge, elektronlar Si katmanında, boşluklar ise Ge katmanında kuşatılmışlardır (confined). III-tip (Misaligned) heteroyapıya örnek olarak verebileceğimiz InAs-GaSb yapıda ise, II-tip (Staggered) deki kuşatmaya (yerleşikligé) benzer bir durum ortaya çıkar fakat, bu süper örgülerde periyodun artması ile enerji bant aralığı azalır ve yarıiletkenden yarımetale geçiş gözlenir.

Katkılanan yarıiletken heteroyapılar uygulama alanında yeni olanaklar sağlarlar. Heteroyapılarda mobilite, modülasyon katkılama ile artırılabilir [16-18]. Bu yöntem ile engel karakterinde olan bölge katkilanır, engeldeki donorlar iyonlaşarak bu bölgeden çukura doğru hareket ederler ve orada kuşatılırlar.

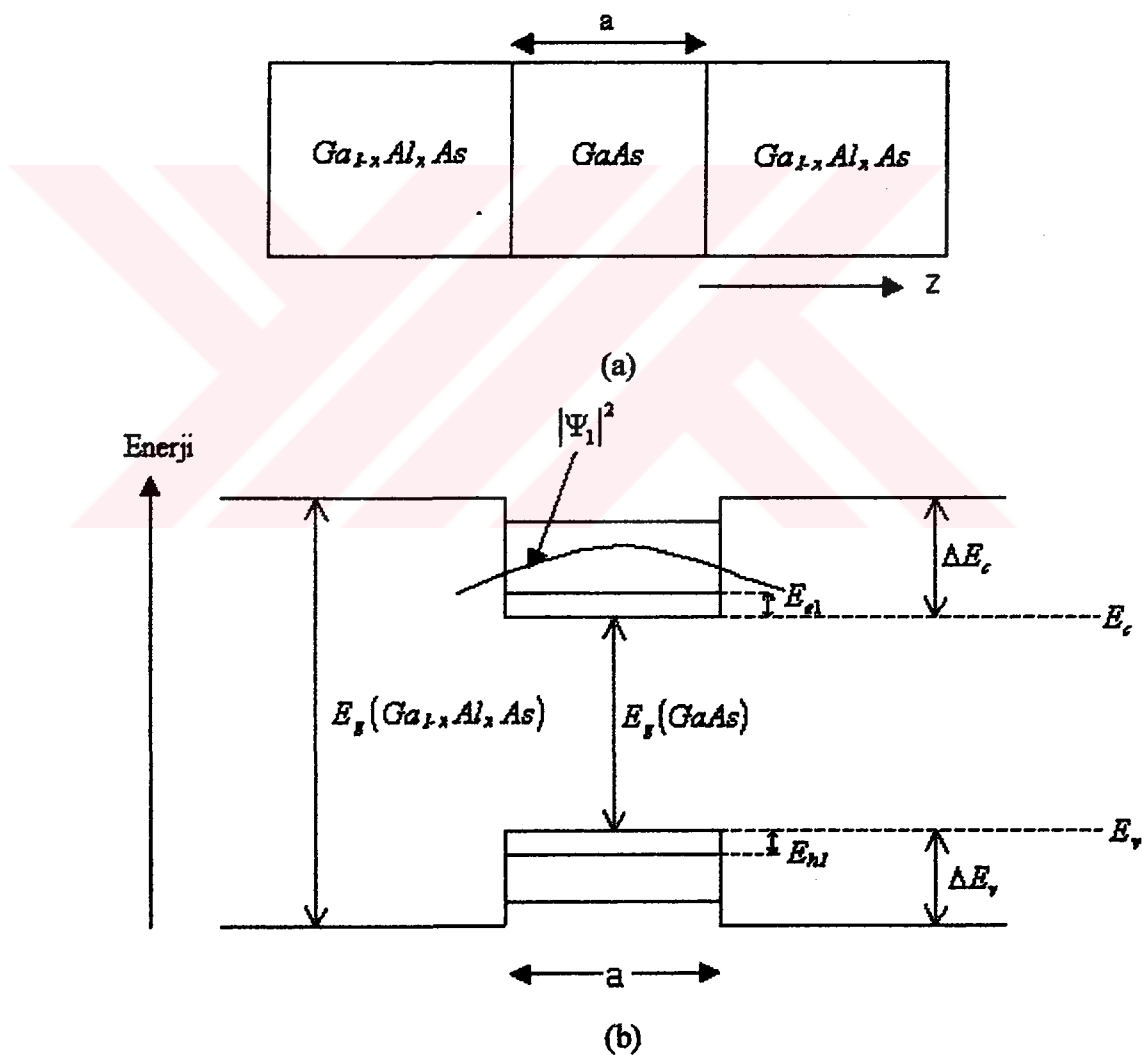
İki boyutlu sistemlerde ilginç bir uygulama rezonans tünelleme olayıdır [19-20]. Şekil 2-8'de verilen katkısız sisteme küçük bir alan uygulandığında, düşük tünelleme olasılığı ve elektrotlar arası zayıf bir akım gözlenir. Alan şiddeti artırılır, E_n enerji durumu elektrotların E_F düzeyi ile çakışrsa tünelleme ve akım miktarı hızla artar. Yüksek alanlarda ise, bu çakışma bozulur ve tünelleme normal değerine döner. Aşırı alan altında ise, engel tümüyle ortadan kalkar ve akım tekrar artar (Şekil 2-8). Heteroyapıların bu özelliği teknolojik uygulamada önemli bir yer tutar.



Şekil 2-8. Heteroyapılar için rezonans tünelleme modeli.

2.4 Kuantum Kuyuları

Örgü sabitleri birbirine çok yakın değerde olan ince bir $GaAs$ tabakasını daha kalın iki $Ga_{1-x}Al_xAs$ alaşımı arasına koyarak Şekil 2-9 (a)'daki z ekseni boyunca büyütme yapılrsa Şekil 2-9 (b)'deki elektronik yapı elde edilir. Bu yapıda Al konsantrasyonu için $0 \leq x \leq 0,35$ değerleri alınarak $Ga_{1-x}Al_xAs$ yapısının direkt geçişli özelliği korunur.



Şekil 2-9. (a) $GaAs$ ve $Ga_{1-x}Al_xAs$ ile oluşturulan heteroyapı.
 (b) $GaAs$ - $Ga_{1-x}Al_xAs$ kuantum kuyusunun elektronik yapısı.

Yukarıdaki şekilde, malzemeler katkıları olmadığı için bant bükülmesi görülmez ve potansiyel iki basamak potansiyelinin yan yana gelmesiyle oluşur. İki yapı da birbirinden bağımsız oldukları için bant diyagramları a kuyu genişliğinden ve alaşımın kalınlığından etkilenmez. Şekil 2-9 (b)'de verilen kuantum kuyusundaki elektronun davranışının incelenirse elektron en düşük enerjiyi yani $GaAs$ tabakasını tercih edecektir. $GaAs$ tabakasının kalınlığı $20 \text{ \AA} < a < 400 \text{ \AA}$ ($GaAs$ kristalinin makroskopik özelliklerini gösterecek kadar büyük, ortalama serbest yoldan küçük) ise elektron bir çarpışma yapmadan kuyunun bir ucundan diğerine gidebilir. Elektronun enerjisi

$$E_e = E_{e1} + \frac{\hbar^2 k^2}{2m_e^*} \quad (2-3)$$

eşitliği ile verilir. Bu durumda bir kutudaki parçacık problemine ulaşılmış olur. Buradaki tek fark m_e^* etkin kütlesidir. Bu da elektronun serbest uzayda değil de $GaAs$ 'nın iletim bandının tabanında yer almazından kaynaklanır. Etkin kütlenin büyülüklüğü kristal potansiyelinin kuvvetini yansıtır ve bu değer maddeden maddeye değişir. Kuantum kuyusunu oluşturan iki yarıletkenin bant sınırlarındaki bant yapıları çok benzer oldukları için $GaAs$ ve $Ga_{1-x}Al_xAs$ arasındaki etkin kütle farkı ihmal edilebilir. Sonuçta kuantum kuyusu içinde kuşatılmış bir parçacık elde edilmiş olur. Kuşatılmanın elektron enerjisi üzerindeki etkisiyle arayüzeye dik doğrultuda enerji spektrumu süreksizlik göstererek seviyelere ayrılr. Elektronun dalga fonksiyonunun kuyu içinde duran dalga formunda olması, $GaAs$ kuyusu dışında ise dalga fonksiyonunun üstel olarak azalması beklenir. Elektronun enerjisi $GaAs$ 'nın iletim bandından itibaren (E_c) ölçülmüştür. Etkin kütle küçüldükçe en düşük kuşatılmış durum E_c iletim bant sınırından yukarı kaydırılır ve daha küçültülsürse dalga fonksiyonunun kuyunun dışına sızması beklenir. Ara yüzeye paralel doğrultuda ise elektronun hareketinin potansiyel kuyusundan etkilenmemesi ve dağıtımının bağıntısının makroskopik kristalle aynı olması beklenir.

İletim bandı sınırdaki elektronların kuşatılmasının açıklandığı yöntemle valans bandındaki olaylar da açıklanabilir. Yine ΔE_v değerinde bir potansiyel engeli elde edilir. Burada *GaAs* külcesinin valans bandının tepesinden daha düşük enerjili durumların elde edilmesi beklenir. Bu durumların külçe bant sınırına göre konumları iletişim bandındaki gibi değildir. Çünkü, iki potansiyel yüksekliği ve etkin kütleler farklı değerdedir. Oluşturulan yapıya ışık gönderilirse yasak bandın büyüklüğüne eşit veya daha büyük enerjili fotonlar valans elektronları tarafından soğurulur. Yukarıdaki incelemelere göre kuşatılmış elektronun en düşük enerjili durumu *GaAs* külcesinin valans bandının tepesinden daha alttadır. Bunun sonucu olarak kuantum kuyusu yapısında elektronun valans bandından iletişim bandına geçebilmesi için *GaAs*'nın yasak bant aralığından daha büyük enerjiye ihtiyacı vardır. Bu enerji, E_{el} kuşatılmış elektronun en düşük enerjili durumu, E_{hi} kuşatılmış boşluğun en düşük enerjili durumu olmak üzere

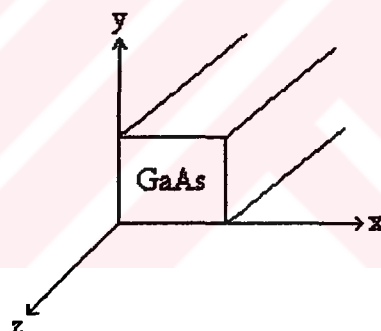
$$E_g \text{ (Kuantum kuyusu)} = E_g \text{ (GaAs)} + E_{el} + E_{hi} \quad (2-4)$$

eşitliği ile verilir. Bu ilk durumlar arası geçiş, kuantum kuyusu için soğurma ve yayma eşik değerlerini belirler. Yani, kuantum kuyusunun yasak bant aralığı kuşatılma etkilerine bağlıdır. Kullanılan alaşımda özel bir alüminyum konsantrasyonu seçilirse iletişim ve valans bantlarının süreksizlikleri ayarlanabilir. Sonuçta kuantum kuyusu yapısının bant aralığı ile kuşatılmış seviyelerin konumu değiştirilebilir. Ayrıca kuyu genişliğinin değiştirilmesi kuantum kuyusunun bant aralıklarının değişmesine neden olur. Böylece kuantum kuyusu parametreleri ile sistemin optiksel özellikleri ayarlanabilir.

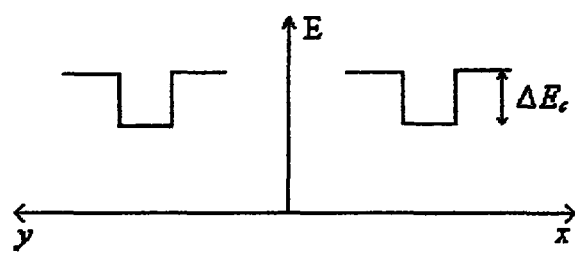
2.5 Kuantum Telleri

İki boyutlu heteroyapılar kullanılarak yapılan cihazlardan elde edilen başarılar nedeniyle son yıllarda yapılan çalışmalar sistemlerin boyutunu bire indirmek üzere yoğunlaşmıştır. Bu süreçte sistemin kuşatma boyutu artırılarak ayarlanabilir parametrelerin sayısı artırılabilir.

Bir kuantum telini göz önüne getirmek için, uzun dikdörtgen bir *GaAs* çubuğuunun $Ga_{1-x}Al_xAs$ içine yerleştirildiğini düşünelim (Şekil 2-10 (a)). Eğer bu çubuk *z* ekseni boyunca yerleştirilirse *x*, *y* doğrultularında kuantum kuyularındaki engeller nedeniyle kuşatılmalar gerçekleşir. Oluşan kuantum teli yapısının kuşatılmış seviyelerini hesaplamak için Şekil 2-10 (b) deki iletim bant diyagramından faydalansılır.



(a)



(b)

Şekil 2-10. (a) *GaAs* kuantum teli (b) *GaAs* kuantum telinin iletim bant diyagramı (ΔE_c , *GaAs* ile $Ga_{1-x}Al_xAs$ arasındaki iletim bant süreksizliğidir)

Eğer parçacıklar bir çizgi boyunca sınırlanırsa buradaki kuantizasyon iki boyutlu kuantum kuyularından daha fazla olacaktır. Bu demektir ki kuantum kuyusundaki en düşük kuşatılmış durum bu yapıda daha yukarıya kaydırılacaktır. Engel yüksekliği boyuttan bağımsız olduğu için kuantum telindeki kuşatılmış bir durumun kuyu genişliğine duyarlılığı da kuantum kuyusundan iki kat fazla olacaktır. Kuşatılma iki boyuta çıkarıldığında Schrödinger denkleminin analitik çözümlerini sistemdeki tüm etkileri hesaba katarak bulmak imkansızdır. Ama incelediğimiz sistemler basitleştirilmiş olduğu için Schrödinger denkleminin çözümlerini bulabiliyoruz.

Bir boyutlu bir sistem için z doğrultusunda öteleme simetrisi olduğu varsayılsa Schrödinger denklemi

$$\left[\frac{(P_x^2 + P_y^2 + P_z^2)}{2m} + V(x, y) \right] \psi(x, y, z) = E_i \psi(x, y, z) \quad (2-5)$$

şeklinde yazılabilir. Potansiyel z 'ye bağlı olmadığından dalga fonksiyonu z yönünde bir düzlem dalga olmak zorundadır. Buna göre dalga fonksiyonu

$$\psi(x, y, z) = \frac{1}{\sqrt{L_z}} \zeta_i(x, y) e^{ikz} \quad (2-6)$$

şeklinde yazılabilir. Burada $\zeta_i(x, y)$, iki boyutlu Schrödinger denklemini sağlar.

$$\left[\frac{(P_x^2 + P_y^2)}{2m} + V(x, y) \right] \zeta_i(x, y) = E_i \zeta_i(x, y) \quad (2-7)$$

Bu eşitlikler iki boyutlu sistemin bir boyutlu alt bantlarını, sınır koşullarına göre $\zeta_i(x, y)$ ile belirler ve z doğrultusunda hareketin serbest olduğunu gösterir.

Verilen bir alt bant için (i, k_z) durumunun enerjisi

$$E_{i,k_z} = E_i + \frac{\hbar^2 k_z^2}{2m^*} \quad (2-8)$$

ile verilir. İki boyutlu Schrödinger denklemini çözmek için nümerik veya yaklaşım metotları kullanmak gereklidir. L_x ve L_y boyutlu sonsuz derinlikte potansiyel engeline sahip dikdörtgen bir tel için Schrödinger denkleminin çözümleri

$$\zeta_i(x, y) = \zeta_{n_x, n_y}(x, y) = \frac{1}{2\sqrt{L_x L_y}} \sin\left(\frac{n_x \pi x}{L_x}\right) \sin\left(\frac{n_y \pi y}{L_y}\right) \quad (2-9)$$

şeklinde yazılabilir. Burada $n_x=0, 1, 2, \dots$ ve $n_y=0, 1, 2, \dots$ ($n_x, n_y \neq (0, 0)$) dir.

Alt bant enerjisi

$$E_i = E_{n_x, n_y} = \frac{\hbar^2 \pi^2}{2m^*} \left(\frac{n_x^2}{L_x^2} + \frac{n_y^2}{L_y^2} \right) \quad (2-10)$$

L_x, L_y den yeterince büyükse n_x seviyeleri küçük merdiven basamakları şeklindeki alt bantlara n_y seviyelerinden ayrılr. $L_x = L_y$ ise bu alt bantlar birbirinden kolaylıkla ayrt edilemezler ve birçok enerji durumu dejenere olur.

3. ÇİFTLENİMLİ $GaAs-Ga_{1-x}Al_xAs$ KUANTUM TELLERİNİN ELEKTRONİK VE EKSİTONİK YAPISI

3.1 Giriş

Son yıllarda teknoloji alanında gerçekleşen en önemli buluş ve atılımlar arasında ilk sırayı mikro düzeyde transistör, tel ve anahtarları birbirine bağlayan ve temel bilgi işlem operasyonlarını gerçekleştiren moleküler ölçekli devreler almıştır.

Bir boyutlu ve iki boyutlu sistemlerde optik özellikler kuşatılmış durumlara duyarlı bir şekilde bağlıdır. Sözü edilen bu özellikler ise, kuantum kuyusunun genişliği ve engel genişliğinin değiştirilmesi ile istenildiği biçimde ayarlanabilir. Bu durum düşük boyutlu sistemlerin uygulama alanında tercih nedenidir. Hemen hemen tüm optoelektronik cihazların çalışması elektron-boşluk çiftinin yaratılması veya yok edilmesine dayanır. Çift oluşumu genellikle bir elektronun valans bandından iletkenlik bandına çıkması ve valans bandında bir boşluk oluşması olayıdır.

Çiftlenimli kuantum kuyusu, elektron ve boşluğun bir kuyudan diğerine tünelleme yoluyla geçebileceğinin ince bir potansiyel engeliyle ayrılmış iki tek kuantum kuyusundan oluşan yarıiletken yapıdır. Çiftlenimli kuantum teli ise, x ve z doğrultularında çiftlenimli kuantum kuyularından oluşan yarıiletken yapıdır. Çift kuantum tellerinin tek kuantum tellerinden farklı olarak, eksitonun elektro-optik özelliklerini artırma özelliğine sahip olmalıdır. Bu özelliklerden dolayı bu tür sistemler araştırmacılar için ilginç olmuştur. Çift kuantum telindeki eksitonlar tek kuantum telindeki eksitonlardan daha karmaşıktır. Çünkü, elektron ve boşluk dalga fonksiyonlarının her ikiside aynı kuyuda veya farklı kuyularda veya aynı anda her iki kuyuda birden lokalize olabilirler.

Bir boyutlu sistemlerin avantajı taşıyıcı yaşam sürelerinin külçe mataryale ve iki boyutlu yapılara göre daha uzun olmasıdır. Boyut azaldıkça taşıyıcıların saçılma olasılıkları azaldığı için taşıyıcıların yaşam süresi artar. Eksitonik yapıya dayalı optik cihazlarda eksiton yaşam süresinin kısa oluşu temel problemlerden

birisidir. Bu sorunu gidermek için sistemin simetrisini bozarak eksiton yaşam süresi arttırılabilir. Yapılan deneysel ve kuramsal çalışmalara göre asimetrik yapılarda simetrik yapılara göre önemli farklılıklar kaydedilmiştir[21-23]. Bu yüzden çalışmamızda önce simetrik çiftlenimli $GaAs - Ga_{1-x}Al_xAs$ kuantum teli daha sonra da asimetrik çiftlenimli $GaAs - Ga_{1-x}Al_xAs$ kuantum telinde eksitonik bağlanma incelenmiştir. Çiftlenimli $GaAs - Ga_{1-x}Al_xAs$ kuantum teli sisteminin boyut parametreleri ($L_{1x} = L_{2x} = L_x$, $L_{1z} = L_{2z} = L_z$, L_b) ile düşük boyutlu heteroyapıların elektronik ve optik özellikleri amaca yönelik olarak ayarlanması mümkündür.



3.2 Çiftlenimli $GaAs-Ga_{1-x}Al_xAs$ Kuantum Tellerinde Eksiton Bağlanması

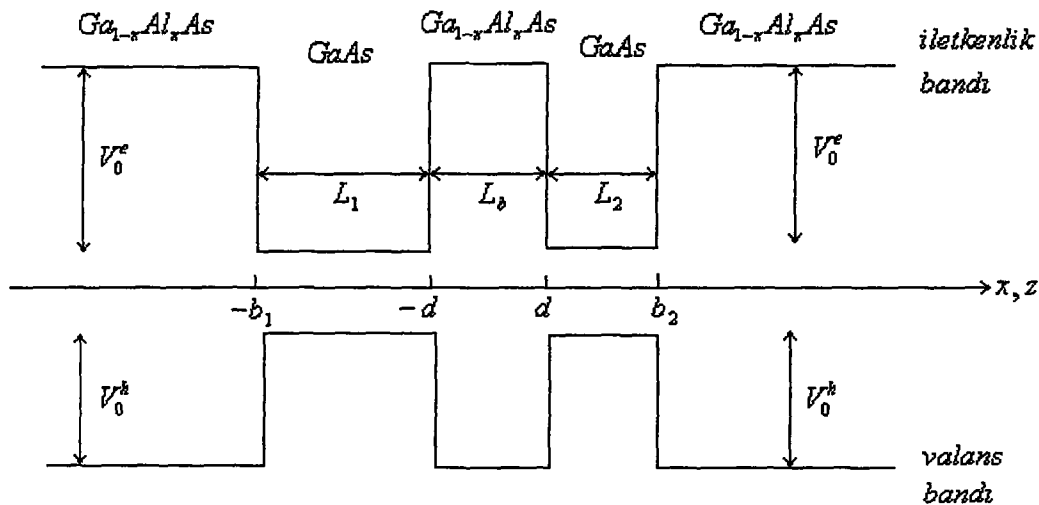
Bu çalışmamızda Şekil 3-1'deki potansiyel profiline sahip $GaAs-Ga_{1-x}Al_xAs$ çiftlenimli kuantum teli için eksiton bağlanması enerjisi varyasyonel hesap tekniği ile etkin kütle çerçevesinde hesaplandı. x ve z eksenlerinde oluşturulan çift kuantum kuyuları nedeniyle yük taşıyıcılarının bu doğrultulardaki hareketleri sınırlanmıştır. y eksenin doğrultusunda ise yük taşıyıcıları serbest parçacıklar gibi davranışları. Bu sisteme bulunan elektron-boşluk çiftinin Hamiltonian'ı

$$H = -\frac{\hbar^2}{2m_e^*} \frac{\partial^2}{\partial x_e^2} + V(x_e) - \frac{\hbar^2}{2m_h^*} \frac{\partial^2}{\partial x_h^2} + V(x_h) - \frac{\hbar^2}{2m_e^*} \frac{\partial^2}{\partial y_e^2} - \frac{\hbar^2}{2m_h^*} \frac{\partial^2}{\partial y_h^2} - \frac{\hbar^2}{2m_e^*} \frac{\partial^2}{\partial z_e^2} + V(z_e) - \frac{\hbar^2}{2m_h^*} \frac{\partial^2}{\partial z_h^2} + V(z_h) - \frac{e^2}{\varepsilon_0 \sqrt{(x_e - x_h)^2 + (y_e - y_h)^2 + (z_e - z_h)^2}} \quad (3-1)$$

ile verilir. Burada $b_1 = L_1 + \frac{L_b}{2}$, $b_2 = L_2 + \frac{L_b}{2}$, $d = \frac{L_b}{2}$ olmak üzere, x ve z doğrultularındaki elektron ve boşluk için potansiyeller

$$V(x_{e,h}) = \begin{cases} V_0^{e,h} & , x_{e,h} < -b_1 \\ 0 & , -b_1 < x_{e,h} < -d \\ V_0^{e,h} & , -d < x_{e,h} < d \\ 0 & , d < x_{e,h} < b_2 \\ V_0^{e,h} & , x_{e,h} > b_2 \end{cases} \quad V(z_{e,h}) = \begin{cases} V_0^{e,h} & , z_{e,h} < -b_1 \\ 0 & , -b_1 < z_{e,h} < -d \\ V_0^{e,h} & , -d < z_{e,h} < d \\ 0 & , d < z_{e,h} < b_2 \\ V_0^{e,h} & , z_{e,h} > b_2 \end{cases} \quad (3-2)$$

biçimindedir.



Şekil 3-1. Çiftlenimli kuantum telinde iletkenlik ve valans bandının x ve z doğrultularındaki şematik gösterimi

y eksenindeki hareketi incelerken iki parçacık hareketi kütle merkezinin hareketi ve bağıl hareket olmak üzere iki tek parçacık problemine indirgenebilir. Bunun için bağıl koordinat $y = y_e - y_h$ ve kütle merkezi koordinatı

$$Y = \frac{m_e^* y_e + m_h^* y_h}{m_e^* + m_h^*}$$
 tanımlanabilir. Hamiltonian'a burada sadece bağıl hareketten

katkı gelir. Hamiltonian'daki tüm uzunluklar Bohr yarıçapı ($a_B = \frac{\epsilon_0 \hbar^2}{\mu e^2}$) ve tüm

enerji terimleri Rydberg ($Ryd = \frac{\mu e^4}{2\epsilon_0^2 \hbar^2}$) cinsinden yazılarak; boyutsuz eksiton

Hamiltonian'ı

$$\begin{aligned} \tilde{H} = & -\frac{\mu}{m_e^*} \frac{\partial^2}{\partial \tilde{x}_e^2} + \tilde{V}(\tilde{x}_e) - \frac{\mu}{m_h^*} \frac{\partial^2}{\partial \tilde{x}_h^2} + \tilde{V}(\tilde{x}_h) - \frac{\partial^2}{\partial \tilde{y}^2} \\ & - \frac{\mu}{m_e^*} \frac{\partial^2}{\partial \tilde{z}_e^2} + \tilde{V}(\tilde{z}_e) - \frac{\mu}{m_h^*} \frac{\partial^2}{\partial \tilde{z}_h^2} + \tilde{V}(\tilde{z}_h) - \frac{2}{\sqrt{(\tilde{x}_e - \tilde{x}_h)^2 + \tilde{y}^2 + (\tilde{z}_e - \tilde{z}_h)^2}} \end{aligned} \quad (3-3)$$

$$\tilde{H} = \tilde{H}_x^e + \tilde{H}_x^h + \tilde{H}_z^e + \tilde{H}_z^h + \tilde{H}_{exc} \quad (3-4)$$

biçiminde elde edilir. Burada

$$\begin{aligned}\tilde{H}_x^e &= -\frac{\mu}{m_e^*} \frac{\partial^2}{\partial \tilde{x}_e^2} + \tilde{V}(\tilde{x}_e) \\ \tilde{H}_x^h &= -\frac{\mu}{m_h^*} \frac{\partial^2}{\partial \tilde{x}_h^2} + \tilde{V}(\tilde{x}_h) \\ \tilde{H}_z^e &= -\frac{\mu}{m_e^*} \frac{\partial^2}{\partial \tilde{z}_e^2} + \tilde{V}(\tilde{z}_e) \\ \tilde{H}_z^h &= -\frac{\mu}{m_h^*} \frac{\partial^2}{\partial \tilde{z}_h^2} + \tilde{V}(\tilde{z}_h) \\ \tilde{H}_{exc} &= -\frac{\partial^2}{\partial \tilde{y}^2} - \frac{2}{\sqrt{(\tilde{x}_e - \tilde{x}_h)^2 + \tilde{y}^2 + (\tilde{z}_e - \tilde{z}_h)^2}}\end{aligned} \quad (3-5)$$

biçimindedir. Yapının Schrödinger denklemi

$$\tilde{H}\Phi(\tilde{x}_e, \tilde{x}_h, \tilde{z}_e, \tilde{z}_h, \tilde{y}, \alpha) = \tilde{E}\Phi(\tilde{x}_e, \tilde{x}_h, \tilde{z}_e, \tilde{z}_h, \tilde{y}, \alpha) \quad (3-6)$$

biçimindedir ve sistemi tanımlayan genel dalga fonksiyonu

$$\Phi(\tilde{x}_e, \tilde{x}_h, \tilde{z}_e, \tilde{z}_h, \tilde{y}, \alpha) = \psi_e(\tilde{x}_e)\psi_h(\tilde{x}_h)\psi_e(\tilde{z}_e)\psi_h(\tilde{z}_h)\phi(\tilde{y}, \alpha) \quad (3-7)$$

ile verilir. Burada $\psi_e(\tilde{x}_e)$, $\psi_h(\tilde{x}_h)$, $\psi_e(\tilde{z}_e)$, $\psi_h(\tilde{z}_h)$ elektron ve boşluğun x ve z doğrultularındaki taban durum dalga fonksiyonlarıdır ve Schrödinger denkleminin çözümlerinden elde edilirler. $\phi(\tilde{y}, \alpha)$ ise, α varyasyon parametresi olmak üzere elektron boşluk sisteminin y eksenindeki hareketini tanımlamak için önerilmiştir ve hidrojen tipi atomları tanımlayan Gaussian-tip orbital dalga fonksiyonu [25-27]

$$\varphi(\tilde{y}, \alpha) = \frac{1}{\sqrt{\alpha}} \left(\frac{2}{\pi} \right)^{1/4} e^{-\tilde{y}^2/\alpha^2} \quad (3-8)$$

formundadır.

Sistemin toplam enerjisi

$$\min_{\alpha} \langle \Phi | \tilde{H} | \Phi \rangle = \tilde{E} \quad (3-9)$$

eşitliğinden hesaplanır ve \tilde{E} özdeğerini minimum yapan α varyasyon parametresinin değeri belirlenir. Böylece

$$\begin{aligned} \langle \Phi | \tilde{H}_x^e | \Phi \rangle &= \tilde{E}_x^e \\ \langle \Phi | \tilde{H}_x^h | \Phi \rangle &= \tilde{E}_x^h \\ \langle \Phi | \tilde{H}_z^e | \Phi \rangle &= \tilde{E}_z^e \\ \langle \Phi | \tilde{H}_z^h | \Phi \rangle &= \tilde{E}_z^h \\ \langle \Phi | \tilde{H}_{exc} | \Phi \rangle &= \frac{1}{\alpha^2} - \langle \Phi | \frac{2}{\sqrt{(\tilde{x}_e - \tilde{x}_h)^2 + \tilde{y}^2 + (\tilde{z}_e - \tilde{z}_h)^2}} | \Phi \rangle \end{aligned} \quad (3-10)$$

olmak üzere Hamiltonian'ın beklenen değeri

$$\langle \Phi | \tilde{H} | \Phi \rangle = \frac{1}{\alpha^2} + \tilde{E}_x^e + \tilde{E}_x^h + \tilde{E}_z^e + \tilde{E}_z^h - \langle \Phi | \frac{2}{\sqrt{(\tilde{x}_e - \tilde{x}_h)^2 + \tilde{y}^2 + (\tilde{z}_e - \tilde{z}_h)^2}} | \Phi \rangle \quad (3-11)$$

olarak bulunur. Eksiton bağlanma enerjisi

$$\tilde{E}_B = \tilde{E}_x^e + \tilde{E}_x^h + \tilde{E}_z^e + \tilde{E}_z^h - \langle \Phi | \tilde{H} | \Phi \rangle \quad (3-12)$$

ile verilir. Denklem 3-11'deki sonuç bu eşitlikte yerine yazılırsa

$$\begin{aligned}
\tilde{E}_B = & -\frac{1}{\alpha^2} + \sqrt{\frac{8}{\pi\alpha^2}} \int_{-\infty}^{\infty} |\psi_e(\tilde{x}_e)|^2 d\tilde{x}_e \int_{-\infty}^{\infty} |\psi_h(\tilde{x}_h)|^2 d\tilde{x}_h \times \\
& \int_{-\infty}^{\infty} |\psi_e(\tilde{z}_e)|^2 d\tilde{z}_e \int_{-\infty}^{\infty} |\psi_h(\tilde{z}_h)|^2 d\tilde{z}_h \int_{-\infty}^{\infty} \frac{e^{-\frac{2\tilde{y}^2}{\alpha^2}}}{\sqrt{(\tilde{x}_e - \tilde{x}_h)^2 + \tilde{y}^2 + (\tilde{z}_e - \tilde{z}_h)^2}} d\tilde{y} \quad (3-13)
\end{aligned}$$

biçiminde elde edilmiş olur. Bu son denklemin çözümü, elektron ve boşluk için dalga fonksiyonlarının tam çözümü kullanılarak bulunur. Buradaki Coulombic terimin integralini almak için

$$\int_{-\infty}^{\infty} \frac{e^{-\frac{2\tilde{y}^2}{\alpha^2}}}{\sqrt{(\tilde{x}_e - \tilde{x}_h)^2 + \tilde{y}^2 + (\tilde{z}_e - \tilde{z}_h)^2}} d\tilde{y} = e^{-\frac{(\tilde{x}_e - \tilde{x}_h)^2 + (\tilde{z}_e - \tilde{z}_h)^2}{\alpha^2}} BesselK\left[0, \frac{(\tilde{x}_e - \tilde{x}_h)^2 + (\tilde{z}_e - \tilde{z}_h)^2}{\alpha^2}\right]$$

eşitliği kullanılmıştır. Burada *BesselK* ikinci tip *Bessel* fonksiyonudur. Hesaplamlarda kullanılan fiziksel parametrelerin değerleri [24] $m_e^* = 0.067m_0$, $m_h^* = 0.45m_0$, $\mu = 0.04m_0$, $\varepsilon_0 = 12.5$, $V_0^e = 228\text{ meV}$, $V_0^h = 176\text{ meV}$, $a_B = 165.591\text{ \AA}$, $Ryd = 3.47369\text{ meV}$ 'dir. Bu parametreler alüminyum konsantrasyonunun $x \approx 0.3$ olarak alındığı $GaAs - Ga_{1-x}Al_xAs$ heteroyapıları için uygun değerlerdir. İletkenlik bant süreksızlığı toplam bant aralığı farkının %56'sı olacak şekilde alınmıştır.

Yapılan bu çalışmada, simetrik ve asimetrik çiftlenimli $GaAs - Ga_{1-x}Al_xAs$ kuantum tellerindeki eksiton bağlanma enerjisi, varyasyonel yaklaşım tekniği kullanılarak hesaplandı. Sonuçlar, x ve z doğrultularındaki kuyu genişliklerinin, engel genişliğinin fonksiyonu olarak elde edildi. Çalışmamızda x ve z doğrultularındaki kuyu genişlikleri ($L_{1x} = L_{2x} = L_x$, $L_{1z} = L_{2z} = L_z$), engel genişliği (L_b) çiftlenimli $GaAs - Ga_{1-x}Al_xAs$ kuantum teli sisteminin ayarlanabilir parametreleri olarak alınıp eksiton bağlanma enerjisi hesaplanmıştır.

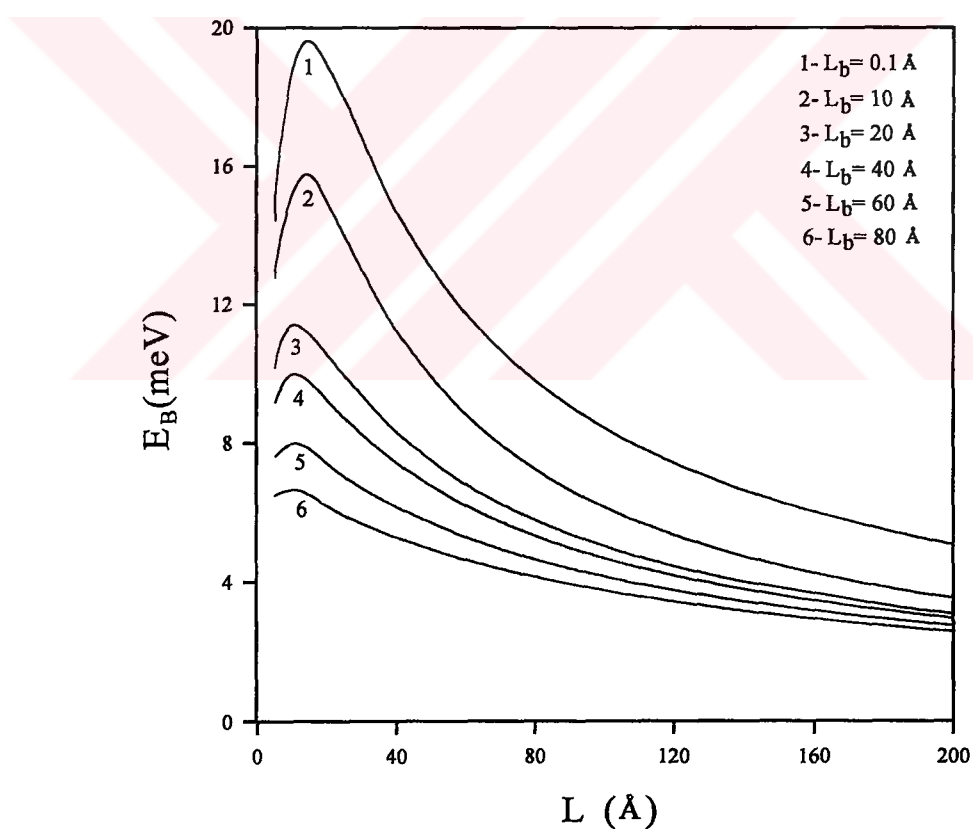
3.3 Simetrik Çiftlenimli $GaAs-Ga_{1-x}Al_xAs$ Kuantum Telinde Eksitonik Bağlanması

Şekil 3-2'de simetrik çiftlenimli $GaAs - Ga_{1-x}Al_xAs$ kuantum telinde farklı engel genişlikleri için eksiton bağlanması enerjisinin tel genişliğine göre değişimi verilmiştir. Yapılan çalışma kuramsal olduğundan $L_b = 0.1 \text{ \AA}$ değerleri uygulamada fiziksel değildir. Bu durum göz önüne alınarak çalışma yapılmıştır. Burada L_x x doğrultusundaki, L_z z doğrultusundaki kuyuların genişliğini temsil etmektedir. Simetrik tel için $L_x = L_z = L$ olarak alınmıştır. Çok büyük L değerlerinde büyütme doğrultusundaki kuşatma azalır ve eksitonik bağlanması üç boyutlu davranış gösterir. Çünkü, geniş kuyularda elektron ve boşluğun aynı düzlemede bulunma olasılığı çok küçüktür, bu nedenle büyük L değerlerinde bağlanması zayıflar. Tel genişliği L azaldıkça eksiton bağlanması enerjisi belli bir maksimuma ulaşınca kadar artar ve sonra tekrar hızla azalmaya başlar. Bağlanması enerjisinin maksimum olduğu L değerleri için elektron ve boşluk kuyular içinde daha iyi lokalize olmuştur ve sistem tek boyutlu karaktere sahiptir. Bağlanması enerjisinin maksimuma ulaşığı L değeri tüm L_b değerleri için hemen hemen aynıdır. Küçük L_b değerlerinde ($L_b = 0.1 - 10 \text{ \AA}$) kuyulararası çiftlenim daha fazla olduğundan eksitonik bağlanması tel genişliğine daha duyarlıdır. Çok küçük L değerlerinde ise, parçacıklar çok enerjik olduğundan potansiyel engellerine sızmaları artar ve sistem çok büyük L değerlerinde olduğu gibi yeniden yarı-üç boyutlu karaktere sahip olur.

Beklenildiği gibi engel genişliği (L_b) çok küçültüldüğünde eksiton bağlanması enerjisi $2L$ genişlikli tek kuantum teli için hesaplanan bağlanması enerjisine yaklaşır. Örneğin, $L = 20 \text{ \AA}$ ve $L_b = 0.1 \text{ \AA}$ olan çiftlenimli tel sisteminin eksiton bağlanması enerjisi 18.8835 meV bulunmuştur. Bu değer $L = 40 \text{ \AA}$ 'luk tek kuantum teli için hesaplanan 18.9312 meV değerine çok yakındır.

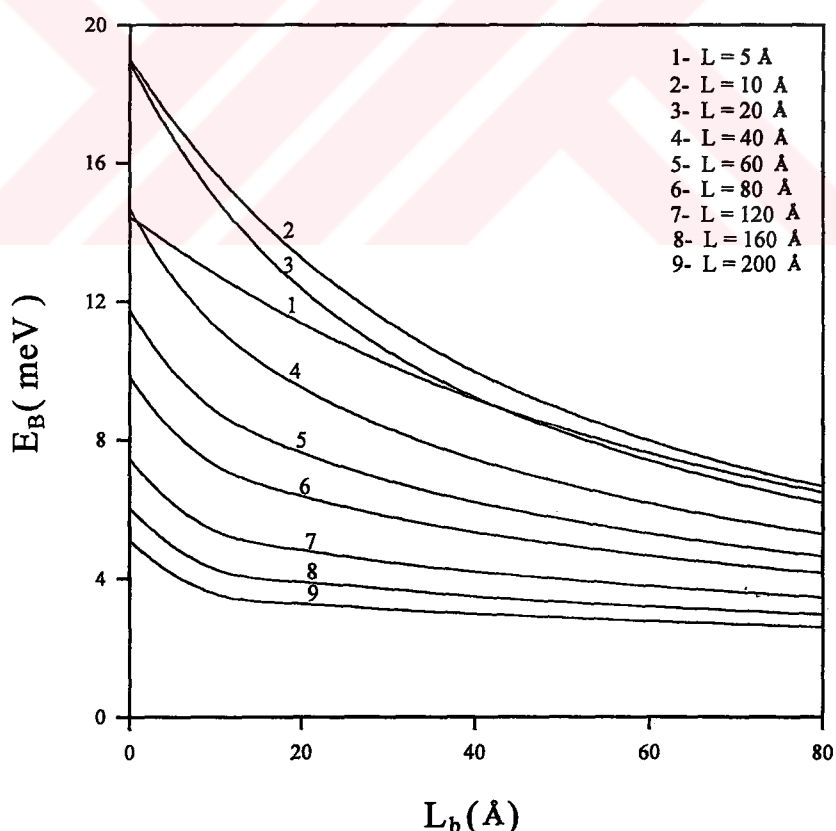
Ayrıca Şekil 3-2'den de görüldüğü gibi büyük L değerleri için E_B 'nin L_b 'ye duyarlılığı azalmaktadır. Çünkü, sistem üç boyutlu davranış gösterir ve

külçe eksiton bağlanma enerjisi değerine yakınsar. Şekil 3-2 dikkatli incelendiğinde, $L_b = 0.1 \text{ \AA}$ ve $L_b = 80 \text{ \AA}$ değerleri için bağlanma enerjisinin özellikle küçük tel genişliklerinde oldukça farklı olduğu görülür. Bu farklılığın nedeni; $L_b = 0.1 \text{ \AA}$ için çiftlenim oldukça büyktür ve sistem $2L$ genişlikli tek tel gibi davranır. Oysa $L_b = 80 \text{ \AA}$ için çiftlenim ortadan kalkar ve sistem izole iki tek tele dönüşür. Bunun sonucunda elektron ve boşluğun aynı düzlemede bulunma olasılığının azalmasına bağlı olarak eksiton bağlanma enerjisi de azalır. Sözü edilen eğriler arasındaki fark yaklaşık 13 meV dir.



Şekil 3-2. Simetrik çiftlenimli $GaAs - Ga_{1-x}Al_xAs$ kuantum telinde eksiton bağlanma enerjisinin L 'ye göre değişimi

Şekil 3-3'te simetrik çiftlenimli $GaAs - Ga_{1-x}Al_xAs$ kuantum telinde farklı tel genişlikleri için eksiton bağlanması enerjisinin engel genişliğine göre değişimi verilmiştir. Simetrik çiftlenimli $GaAs - Ga_{1-x}Al_xAs$ kuantum telinde engel genişliği (L_b) arttıkça eksiton bağlanması enerjisinin azalduğu görülmektedir. Bunun nedeni, engel genişliği (L_b) arttıkça kuyular arası çiftlenimin azalması ve buna bağlı olarak elektronla boşluğun aynı düzlemede bulunma olasılığının azalmasıdır. Bunun sonucunda eksiton bağlanması enerjisi külçe değerine yakınsar. Özellikle küçük L_b değerlerinde ($L_b = 0.1 - 10 \text{ \AA}$) eksitonik bağlanması tel genişliğine daha duyarlı olduğu ve büyük L değerleri için E_B 'nin L_b 'ye duyarlılığının azalduğu görülmektedir.

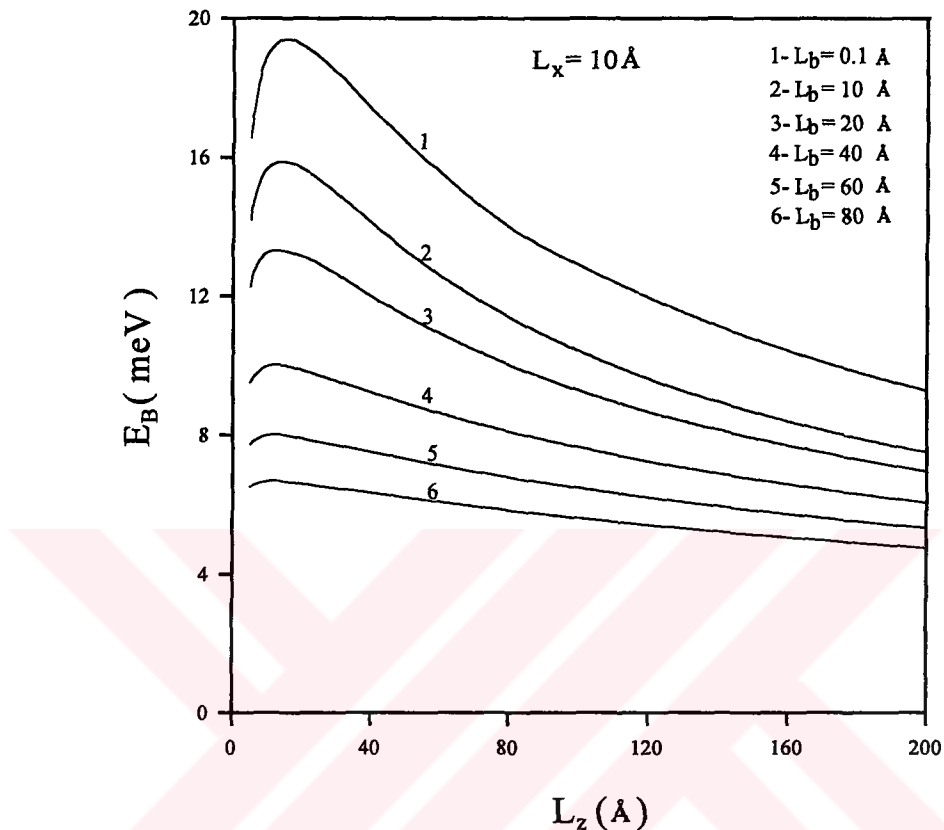


Şekil 3-3. Simetrik çiftlenimli $GaAs - Ga_{1-x}Al_xAs$ kuantum telinde eksiton bağlanması enerjisinin engel genişliği L_b 'ye göre değişimi

3.4 Asimetrik Çiftlenimli $GaAs-Ga_{1-x}Al_xAs$ Kuantum Telinde Eksitonik Bağlanma

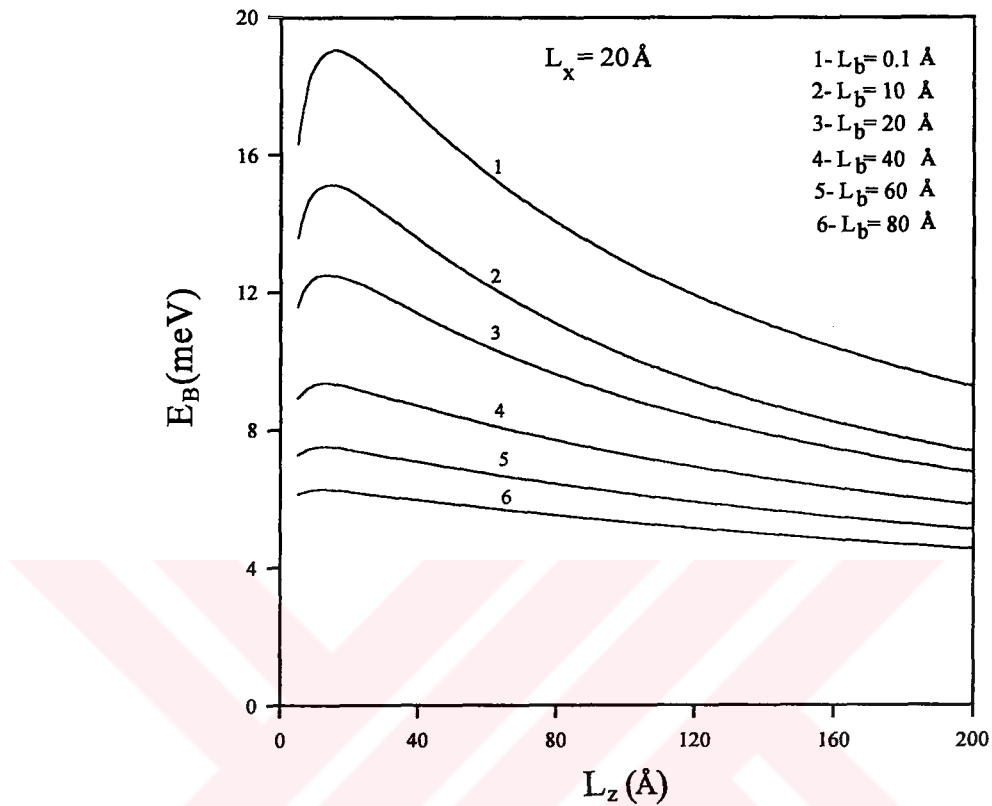
Çalışmamızın bu kısmında x doğrultusundaki kuyuların genişliği sabit tutularak, z doğrultusundaki kuyuların genişliği değiştirilerek asimetrik çiftlenimli $GaAs - Ga_{1-x}Al_xAs$ kuantum telinde eksiton bağlanma enerjisi hesaplandı.

Şekil 3-4'te $L_x = 10 \text{ \AA}$ olan asimetrik çiftlenimli $GaAs - Ga_{1-x}Al_xAs$ kuantum telinde farklı engel genişlikleri için eksiton bağlanma enerjisinin L_z 'ye göre değişimi verilmiştir. Şekildeki davranış simetrik çiftlenimli $GaAs - Ga_{1-x}Al_xAs$ kuantum telindeki davranışa benzerdir. Fakat burada pikler biraz daha yayvan ve enerjideki azalma simetrik çiftlenimli $GaAs - Ga_{1-x}Al_xAs$ kuantum teli yapısına oranla daha yavaştır. Bunun nedeni, simetrik çiftlenimli $GaAs - Ga_{1-x}Al_xAs$ kuantum telinde tel genişliğinin (L_x) ve tel kalınlığının (L_z) aynı anda küçültülmesiyle (her iki doğrultuda da kuşatma artırıldığı için) bağlanma enerjisinin çok daha hızlı değişmesidir. Asimetrik çiftlenimli $GaAs - Ga_{1-x}Al_xAs$ kuantum teli için ise x doğrultusundaki kuyuların genişliği $L_x = 10 \text{ \AA}$ büyüklüğünde sabit tutulmuş sadece z doğrultusundaki kuyuların genişliği (L_z) değiştirilmiştir.



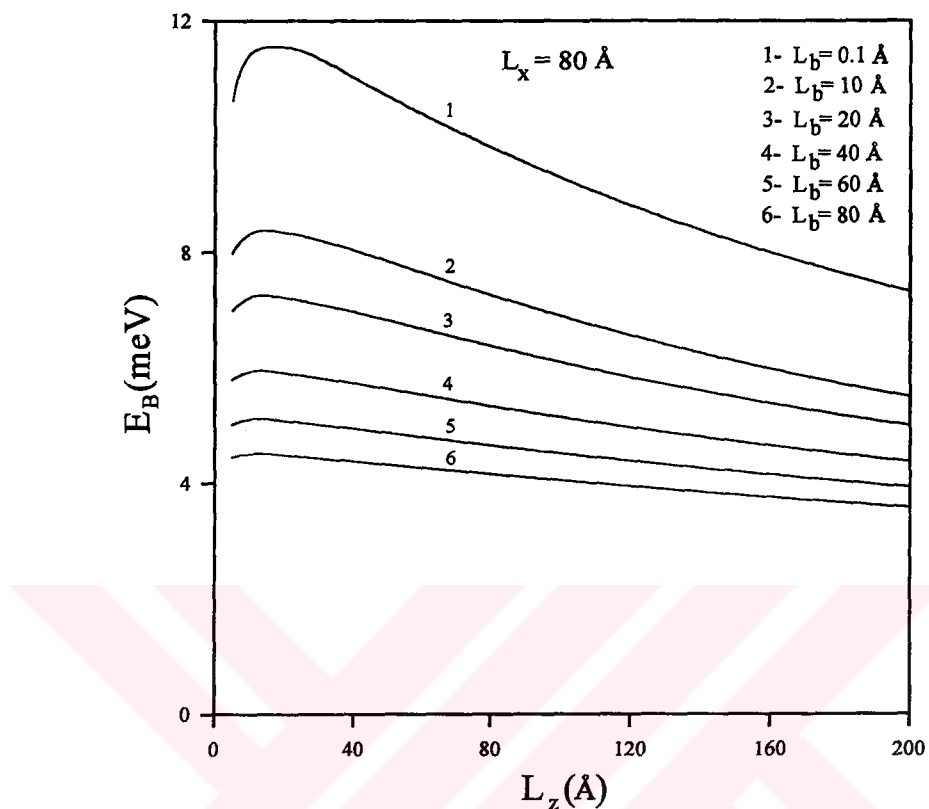
Şekil 3-4. Asimetrik çiftlenimli $GaAs - Ga_{1-x}Al_xAs$ kuantum telinde eksiton bağlanması enerjisinin L_z 'ye göre değişimi ($L_x = 10 \text{ \AA}$)

Şekil 3-5'te $L_x = 20 \text{ \AA}$ olan asimetrik çiftlenimli $GaAs - Ga_{1-x}Al_xAs$ kuantum telinde farklı engel genişlikleri için eksiton bağlanması enerjisinin L_z 'ye göre değişimi verilmiştir. Burada da yine genel davranış Şekil 3-4'teki ile aynıdır. Sadece eksiton bağlanması enerjisi efectif genişlikler büyüğü için azalmıştır.



Şekil 3-5. Asimetrik çiftlenimli $GaAs - Ga_{1-x}Al_xAs$ kuantum telinde eksiton bağlanması enerjisinin L_z 'ye göre değişimi ($L_x = 20 \text{ \AA}$)

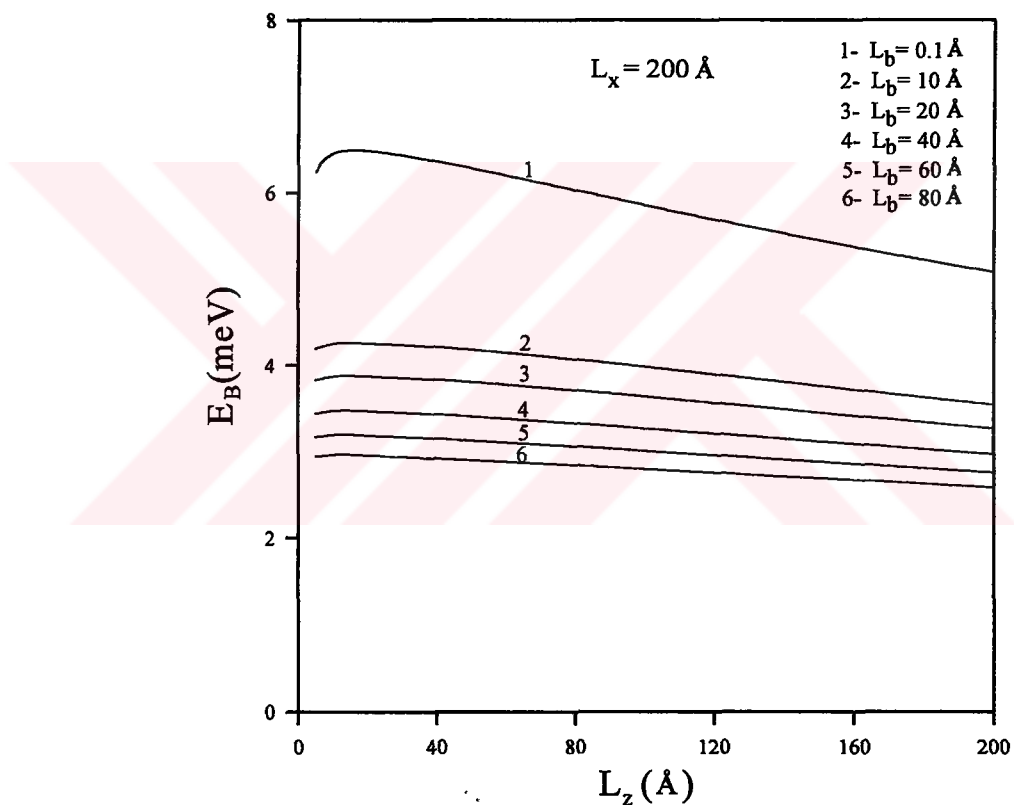
Şekil 3-6'da $L_x = 80 \text{ \AA}$ olan asimetrik çiftlenimli $GaAs - Ga_{1-x}Al_xAs$ kuantum telinde farklı engel genişlikleri için eksiton bağlanması enerjisinin L_z 'ye göre değişimi verilmiştir. Şekilde eksiton bağlanması enerjisindeki azalma önceki L_x değerlerine göre belirgin bir şekilde ortaya çıkmıştır.



Şekil 3-6. Asimetrik çiftlenimli $GaAs-Ga_{1-x}Al_xAs$ kuantum telinde eksiton bağlanması enerjisinin L_z 'ye göre değişimi ($L_x = 80 \text{ \AA}$)

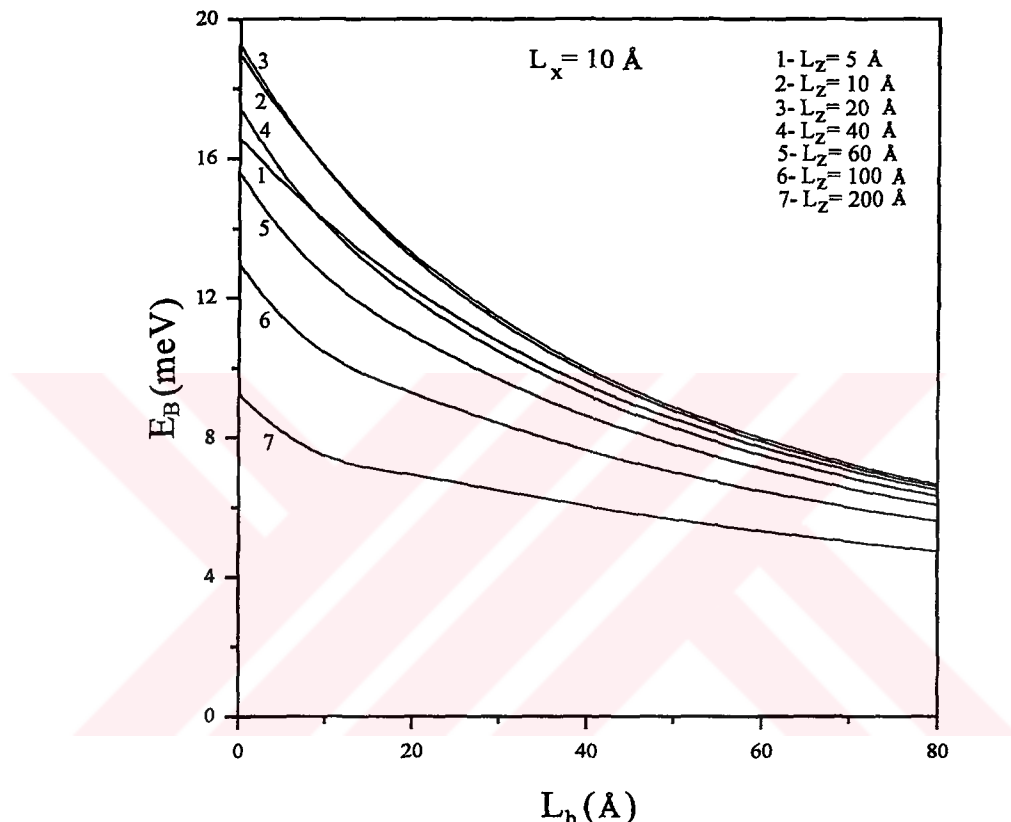
Şekil 3-7'de $L_x = 200 \text{ \AA}$ olan asimetrik çiftlenimli $GaAs-Ga_{1-x}Al_xAs$ kuantum telinde farklı engel genişlikleri için eksiton bağlanması enerjisinin L_z 'ye göre değişimi verilmiştir. Burada eksiton bağlanması enerjisi önceki L_x değerlerine göre azalmıştır. x doğrultusundaki kuyuların genişliği $L_x = 200 \text{ \AA}$ olduğundan elektron ve boşluğun tamamen kuyular içinde bulunmalarına rağmen, parçacıkların bu genişlikte birbirini görme olasılıkları zayıflar ve yapı üç boyutlu gibi davranışır. Yani, uzaysal kuşatma bu doğrultuda oldukça zayıflamıştır. Bu nedenle eksiton bağlanması enerjisi bir önceki L_x değerlerine göre oldukça azalmıştır. Ayrıca engel genişliği (L_b) büyükçe bağlanması enerjisi de azalır.

Çünkü, parçacıkların birbirlerini gördükleri efektif uzunluk artar. Çok büyük L_b değerlerinde ($L_b \approx 60 - 80 \text{ \AA}$) ise, yapı artık her iki doğrultu için birbirinden izole iki ayrı tek kuyu gibi davranış gösterir.

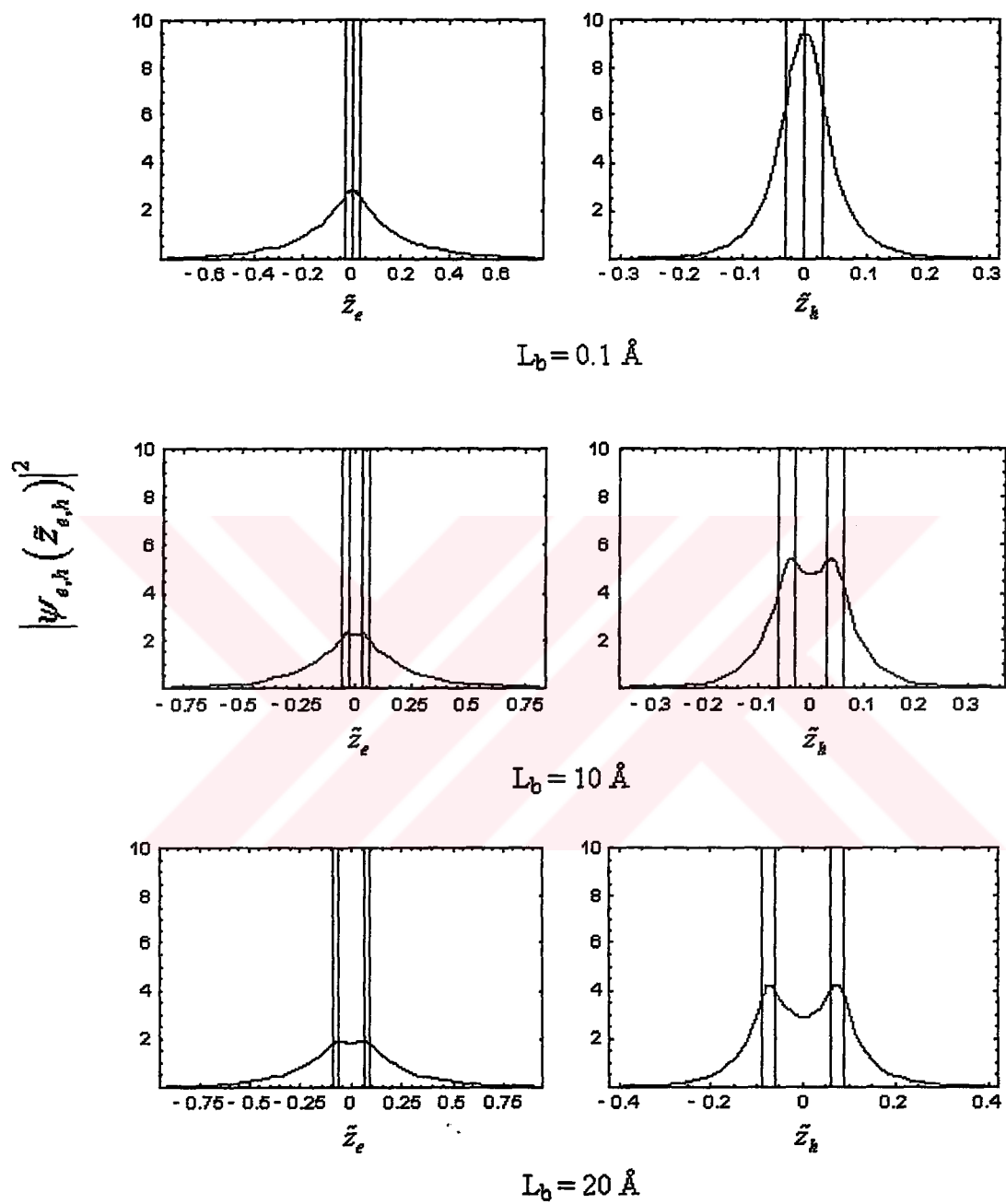


Şekil 3-7. Asimetrik çiftlenimli $GaAs - Ga_{1-x}Al_xAs$ kuantum telinde eksiton bağlanması enerjisinin L_z 'ye göre değişimi ($L_x = 200 \text{ \AA}$)

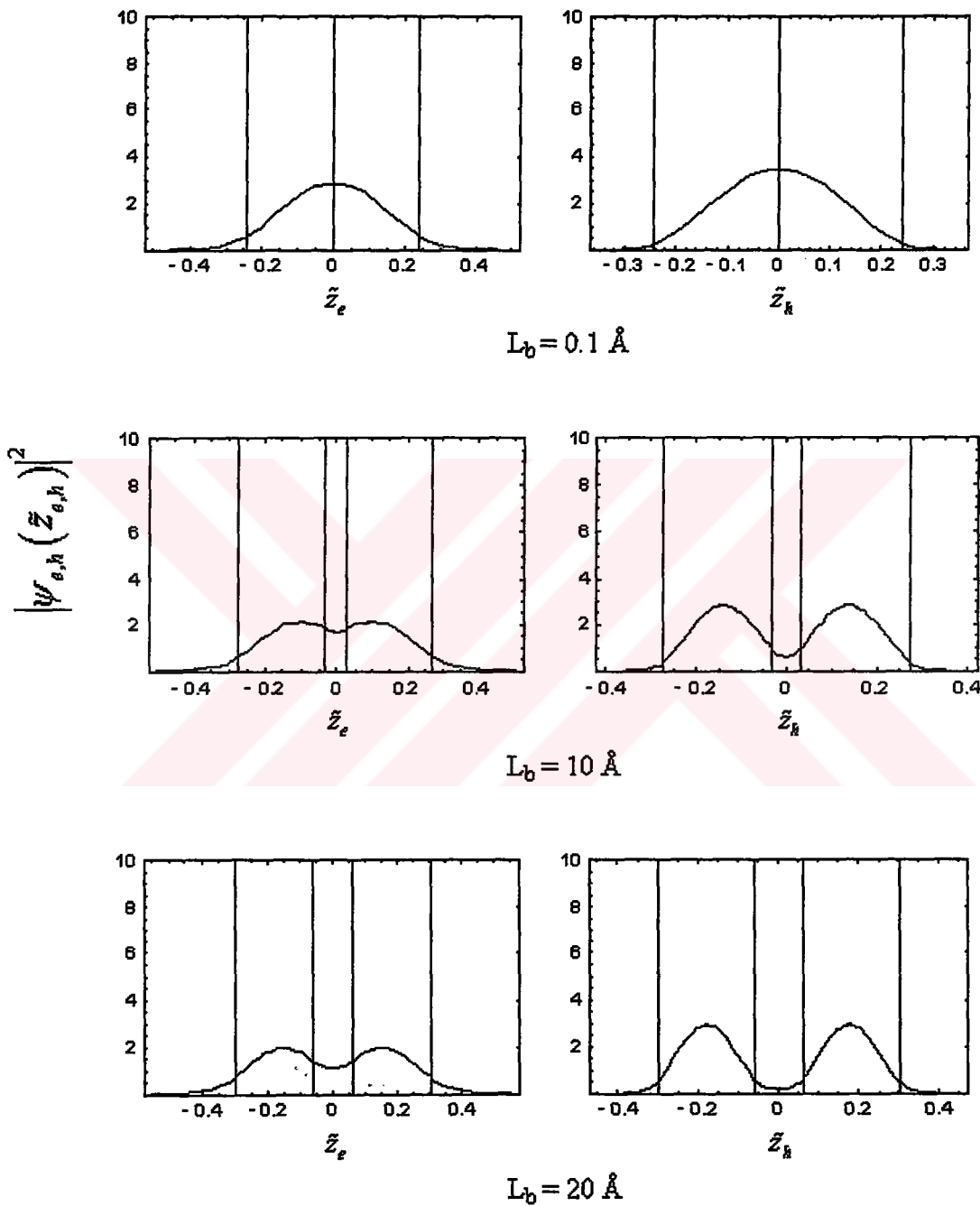
Şekil 3-8'de $L_x = 10 \text{ \AA}$ olan asimetrik çiftlenimli $GaAs - Ga_{1-x}Al_xAs$ kuantum telinde farklı L_z genişlikleri için eksiton bağlanma enerjisinin L_b 'ye göre değişimi verilmiştir. Engel genişliğinin çok küçük değerlerinde eksiton bağlanma enerjisi $2L$ genişlikli tek kuantum telinin bağlanma enerjisi değerine yaklaşır. Örneğin, $L_x = 20 \text{ \AA}$, $L_b = 0.1 \text{ \AA}$ ve $L_z = 40 \text{ \AA}$ olan asimetrik çiftlenimli kuantum teli sistemi için hesaplanan eksiton bağlanma değeri 17.1832 meV dir. Bu değer $L_x = 40 \text{ \AA}$ ve $L_z = 80 \text{ \AA}$ olan asimetrik kuantum teli için hesaplanan 17.2349 meV değerine çok yakındır. Engel genişliği azaldıkça kuyulararası etkileşim arttığı için bağlanma enerjisinin arttığı görülmektedir. En büyük artış 2 ve 3 numaralı eğrilerde görülmektedir. 1 numaralı eğrideki artış 2 ve 3 numaralı eğrilere göre daha azdır. Bunun nedeni, L_z azaldıkça elektron ve boşluk kuyular içine daha iyi lokalize olur, ancak belli bir L_z 'den sonra ($L_z = 5 \text{ \AA}$ değerinden sonra) parçacıklar delokalizasyona uğrar ve potansiyel engeline sızmaya başlar. Şekil 3-8'de 2 ile 3 ve 1 ile 4 eğrilerinin kesişimleri Şekil 3-9(a), Şekil 3-9(b), Şekil 3-10(a) ve Şekil 3-10(b)'de verilen dalga fonksiyonlarının analizi ile açıklanabilir. 10 \AA 'dan büyük L_b değerlerinde $L_z = 5 \text{ \AA}$ 'luk yapıda elektron ve boşluk engellere sızmış durumdadır. $L_z = 40 \text{ \AA}$ 'luk yapıda ise, elektron ve boşluk kuyular içinde daha iyi lokalize olmuştur (Şekil 3-9(a), Şekil 3-9(b)). Bu nedenle 10 \AA 'dan küçük L_b değerlerinde 4 eğrisinin bağlanma enerjisi 1 eğrisinin bağlanma enerjisi değerinden daha büyüktür. 10 \AA 'dan büyük L_b değerlerinde, $L_z = 40 \text{ \AA}$ 'luk yapıda kuyulararası çiftlenim ortadan kalkar ve bağlanma enerjisi değeri hızla azalır. Oysa $L_z = 5 \text{ \AA}$ 'luk yapıda çiftlenim önemli bir büyülüktedir ve bağlanma enerjisinin değeri $L_z = 40 \text{ \AA}$ 'luk yapıya oranla büyüktür. Aynı mantıkla 2 ile 3 nolu eğrilerin kesişimi de açıklanabilir.



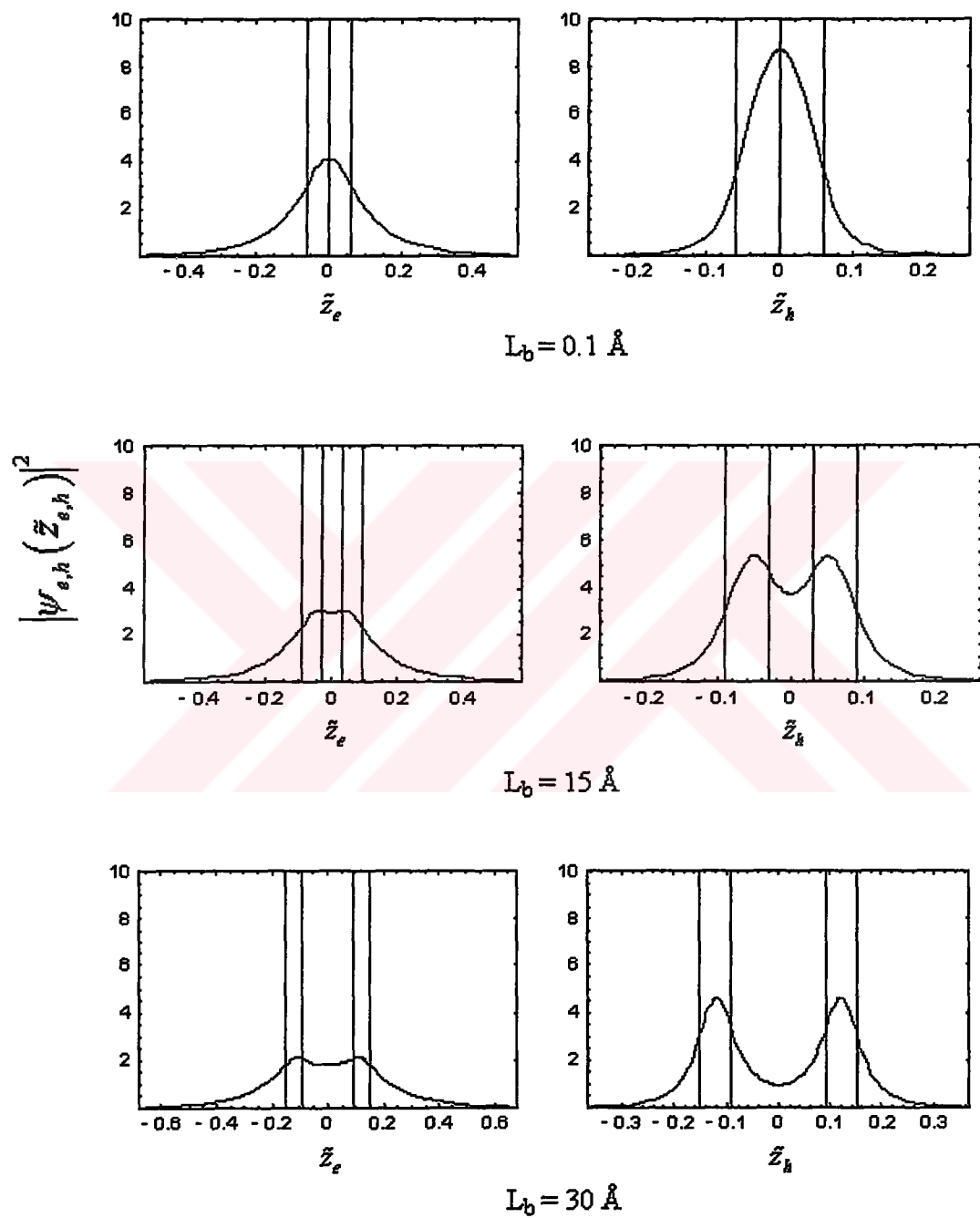
Şekil 3-8. Asimetrik çiftlenimli $GaAs - Ga_{1-x}Al_xAs$ kuantum telinde eksiton bağlanması enerjisini engel genişliği L_b 'ye göre değişimi ($L_x = 10 \text{ \AA}$)



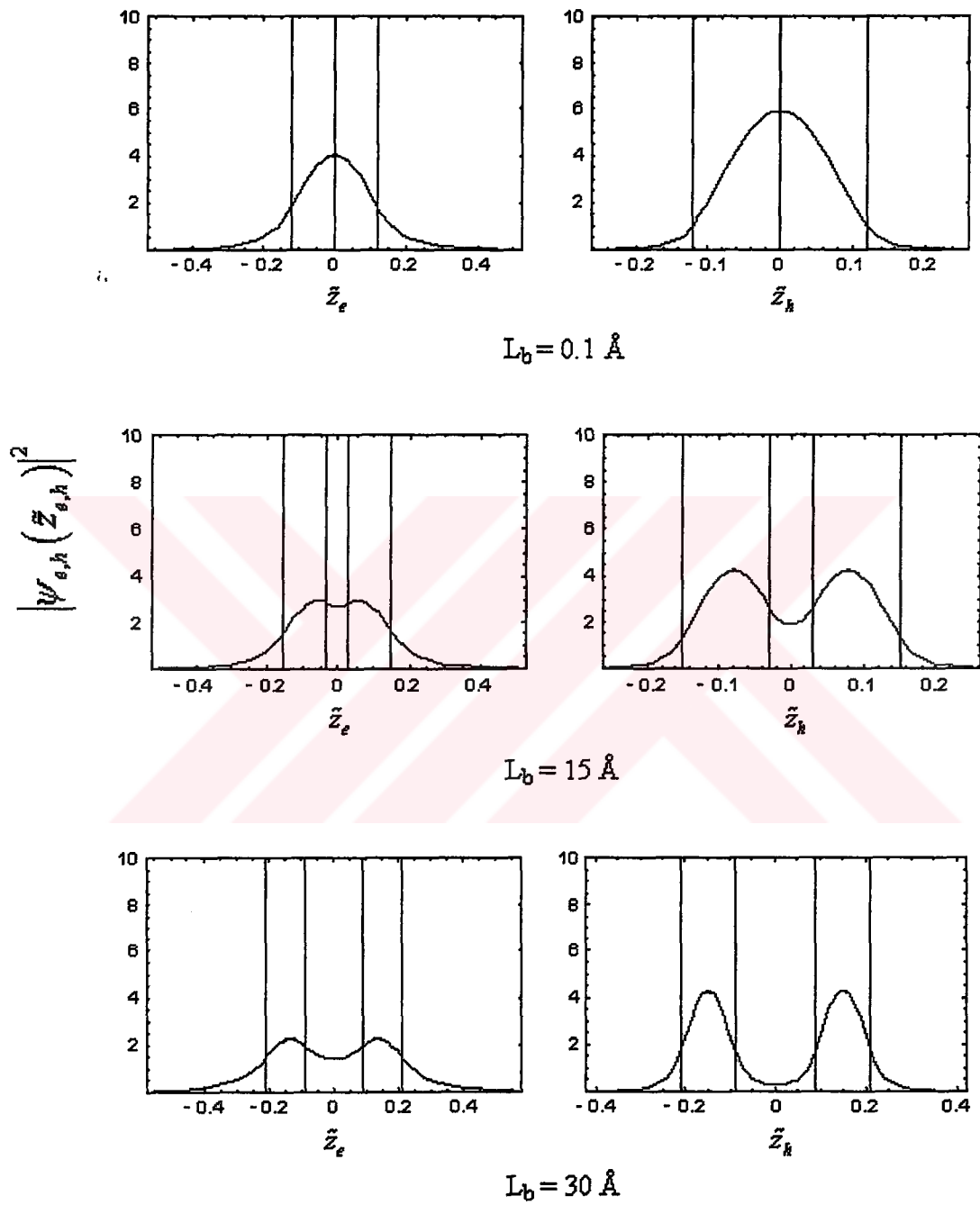
Şekil 3-9. (a) Elektron ve boşluğun $L_{1z} = L_{2z} = 5 \text{ \AA}$ için taban durum dalga fonksiyonlarının genliğinin karesinin konuma ve L_b 'ye göre değişimi



Şekil 3-9. (b) Elektron ve boşluğun $L_{1z} = L_{2z} = 40 \text{ \AA}$ için taban durum dalga fonksiyonlarının genliğinin karesinin konuma ve L_b 'ye göre değişimi

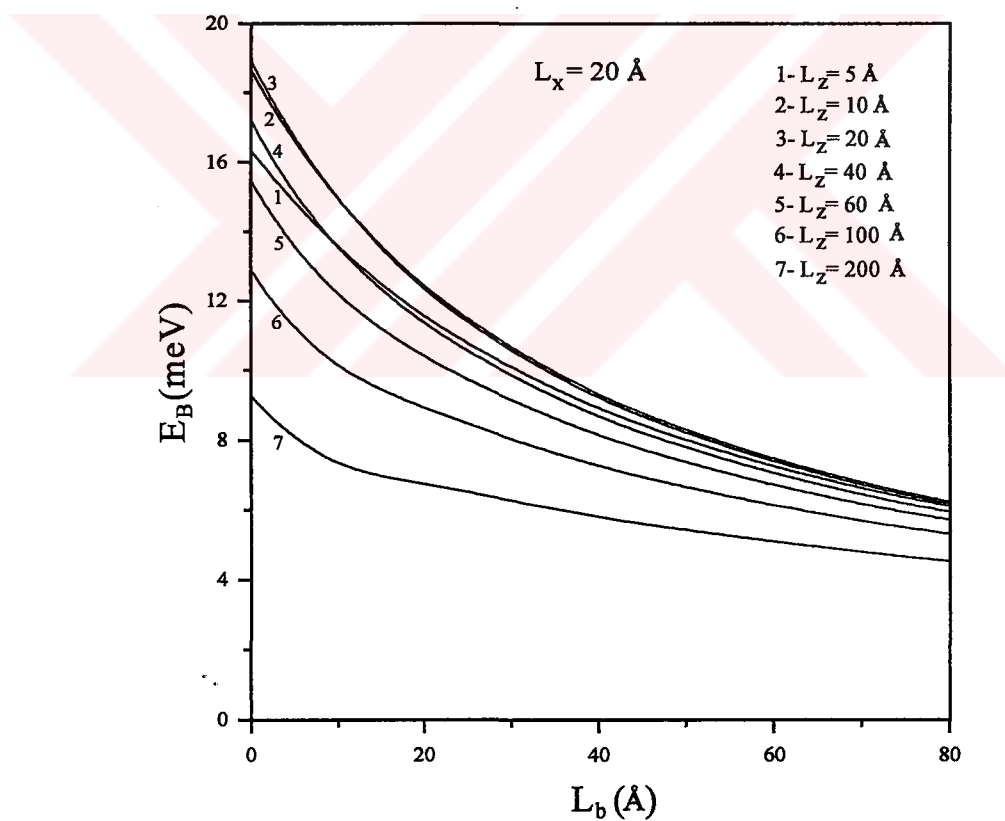


Şekil 3-10. (a) Elektron ve boşluğun $L_{1z}=L_{2z}=10 \text{ \AA}$ için taban durum dalga fonksiyonlarının genliğinin karesinin konuma ve L_b 'ye göre değişimi



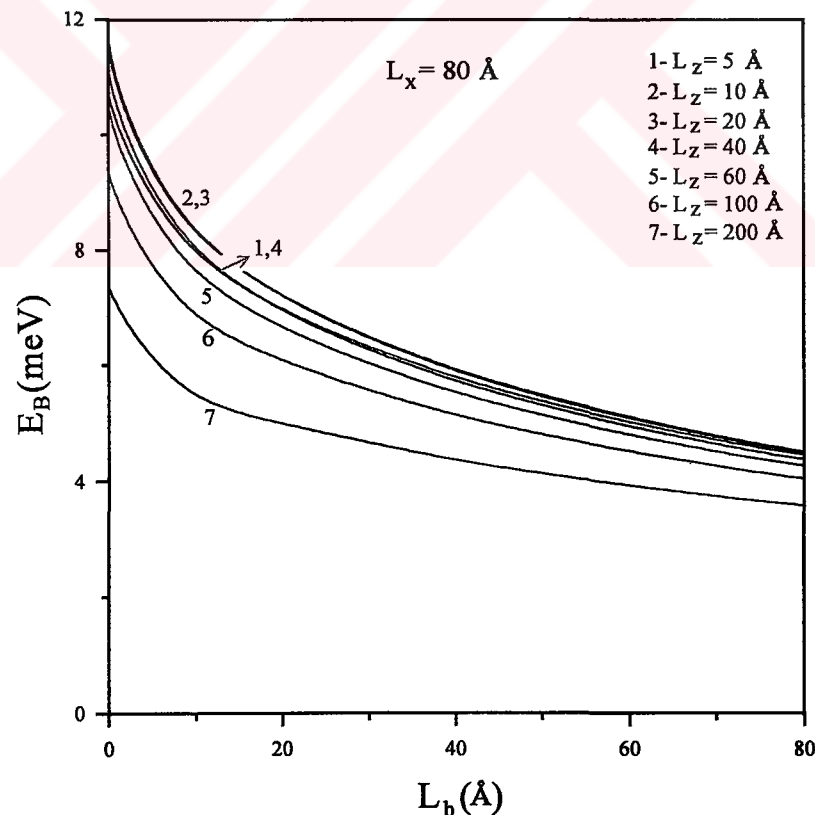
Şekil 3-10. (b) Elektron ve boşluğun $L_{1z}=L_{2z}=20 \text{ \AA}$ için taban durum dalga fonksiyonlarının genliğinin karesinin konuma ve L_b 'ye göre değişimi

Şekil 3-11'de $L_x = 20 \text{ \AA}$ olan asimetrik çiftlenimli $GaAs - Ga_{1-x}Al_xAs$ kuantum telinde farklı L_z genişlikleri için eksiton bağlanma enerjisinin L_b 'ye göre değişimi verilmiştir. Buradaki davranış Şekil 3-8'deki davranışla aynıdır. Burada farklı olarak eksiton bağlanma enerjilerinin değerlerinde çok küçük azalmalar görülmektedir. Bunun nedeni, L_x 'in büyümesiyle eksitonun yarıçapının bir önceki duruma göre büyümesi ve dolayısıyla eksiton bağlanma enerjisinin bu oranda azalmasıdır.



Şekil 3-11. Asimetrik çiftlenimli $GaAs - Ga_{1-x}Al_xAs$ kuantum telinde eksiton bağlanma enerjisinin engel genişliği L_b 'ye göre değişimi ($L_x = 20 \text{ \AA}$)

Şekil 3-12'de $L_x = 80 \text{ \AA}$ olan asimetrik çiftlenimli $\text{GaAs}-\text{Ga}_{1-x}\text{Al}_x\text{As}$ kuantum telinde farklı L_z genişlikleri için eksiton bağlanması enerjisinin L_b 'ye göre değişimi verilmiştir. Bu şekilde de görüldüğü gibi bağlanması enerjisinin engel genişliğine göre değişimi daha önce belirtilen genel davranışını korur, ancak önceki durumlara göre eksiton bağlanması enerjisi daha da azalır. Çünkü, L_x 'in artması bu doğrultudaki efektif kuyu genişliğinin ve eksiton yarıçapının artması anlamına gelir. Bu da eksiton bağlanması enerjisini azaltır. Küçük L_z değerleri için parçacıklar daha enerjik olduğundan çiftlenim önemli bir büyüklüktedir ve bu durum Şekil 3-12'deki eğriler incelendiğinde açıkça görülmektedir. Örneğin, $L_b = 10 \text{ \AA}$ için 1, 2, 3, 4 eğrilerinin eksiton bağlanması enerjileri birbirlerine çok yakın iken, 5, 6 ve 7 eğrilerinin eksiton bağlanması enerjilerinin arasındaki fark daha büyüktür.

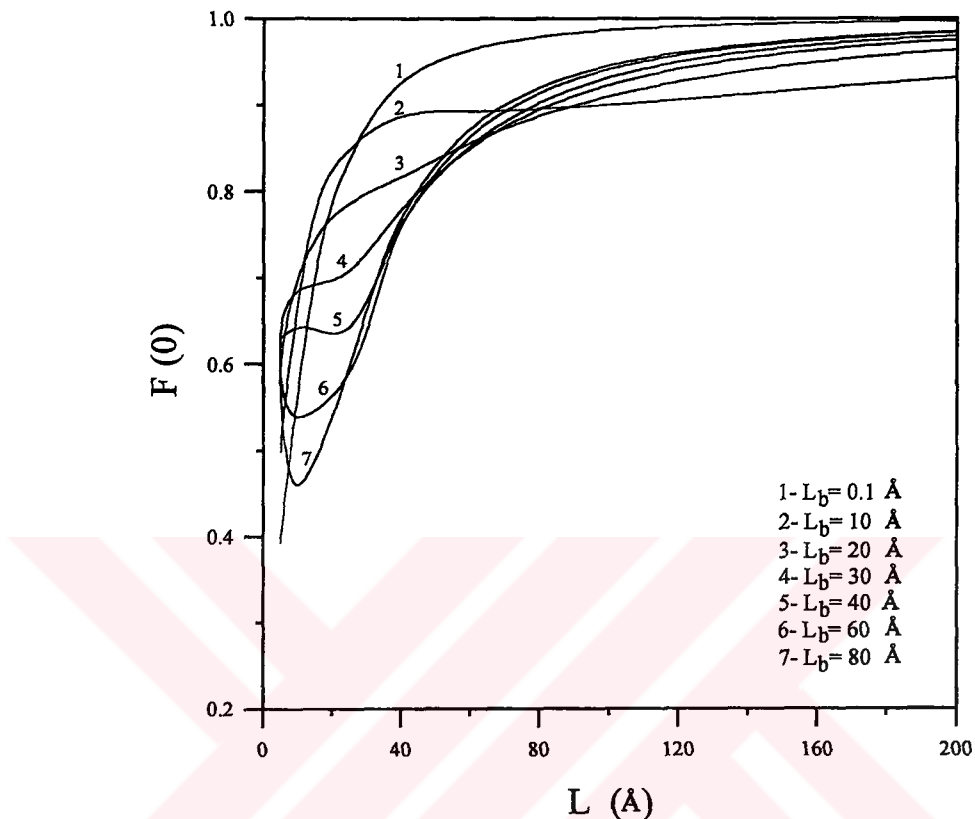


Şekil 3-12. Asimetrik çiftlenimli $\text{GaAs}-\text{Ga}_{1-x}\text{Al}_x\text{As}$ kuantum telinde eksiton bağlanması enerjisinin engel genişliği L_b 'ye göre değişimi ($L_x = 80 \text{ \AA}$)

Hesaplamalarımızda ayrıca, simetrik ve asimetrik çiftlenimli $GaAs - Ga_{1-x}Al_xAs$ kuantum tellerindeki eksiton davranışını ayrıntılı olarak tanımlayabilmek için elektron ve boşluğun aynı düzlemden bulunma olasılığını ifade eden ve

$$F(0) = \left| \int_{-\infty}^{\infty} \psi_e(x) \psi_h(x) dx \right|^2 \left| \int_{-\infty}^{\infty} \psi_e(z) \psi_h(z) dz \right|^2 \quad (3-14)$$

ile verilen $F(0)$ – overlap fonksiyonu hesaplandı. Şekil 3-13'te simetrik çiftlenimli $GaAs - Ga_{1-x}Al_xAs$ kuantum telinde farklı L_b değerleri için elektron ve boşluk arasındaki overlap fonksiyonunun tel genişliğine göre değişimini verilmiştir. Overlap fonksiyonunun simetrik çiftlenimli $GaAs - Ga_{1-x}Al_xAs$ kuantum teli genişliğine göre değişimini iki bölgeye ayırarak açıklayabiliriz. Birinci bölge $5 \text{ \AA} \leq L \leq 50 \text{ \AA}$ olan bölge, ikinci bölge ise $50 \text{ \AA} \leq L \leq 200 \text{ \AA}$ bölgesidir. Birinci bölgede, küçük L değerlerinde parçacıklar delokalize oldukları için tüm uzay içerisinde birbirlerini görme olasılıkları dolayısıyla overlapları da zayıftır. L büyüdüükçe daha iyi lokalize olmaya başlarlar ve her iki parçacığın da aynı düzlemden bulunma olasılıkları dolayısıyla overlapları da artmış olur. İkinci bölgede hemen hemen her L_b değeri için $F(0)$ değeri bire yakınsar. Çünkü, bu aralıktaki 1 değerleri için her iki doğrultuda da kuantum kuyularının bant süreksızlıklar parçacıklar üzerinde sonsuz potansiyel engel etkisi yaratır, bu durumda da elektron ve boşluk dalga fonksiyonları özdeş olduğu için denklem 3-14'teki integralin değeri bire yaklaşır ($F(0) \rightarrow 1$). Dolayısıyla bu aralıktaki her L_b değeri için overlap fonksiyonunun L 'ye göre değişiminin bire yakınsadığı görülür.

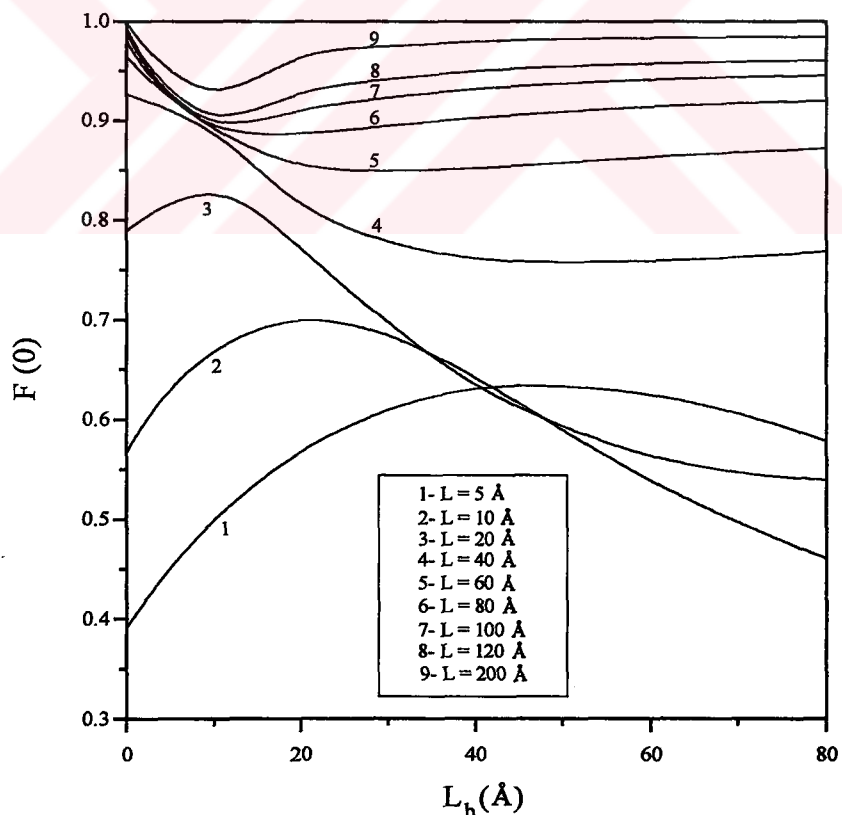


Şekil 3-13. Simetrik çiftlenimli $GaAs - Ga_{1-x}Al_xAs$ kuantum telinde $F(0)$ -overlap fonksiyonunun L 'ye göre değişimi

Şekil 3-14'te simetrik çiftlenimli $GaAs - Ga_{1-x}Al_xAs$ kuantum telinde farklı L değerleri için elektron ve boşluk arasındaki overlap fonksiyonunun L_b 'ye göre değişimi verilmiştir. Buradaki sonuçlar daha önce verilen Şekil 3-9(a), Şekil 3-9(b), Şekil 3-10(a) ve Şekil 3-10(b)'deki dalga fonksiyonlarının analizi ile açıklanabilir. 1, 2 ve 3 numaralı eğrilere baktığımızda overlap fonksiyonunun önce L_b arttıkça belli bir maksimuma ulaşıcaya kadar artar ve daha büyük L_b değerleri ile azalmaya başlar. Çünkü, burada L yeterince küçük olduğu için parçacıkların kuyu dışında bulunma olasılıkları çok fazladır. $0 \leq L_b \leq 20 \text{ \AA}$ aralığında kuyular arası çiftlenim yeterli büyüklükte olduğu için bu aralıkta L_b 'nin

artması parçacıkların kuyu bölgesindeki lokalizasyonunu artırır (Bakınız Şekil 3-10(a)). Dolayısıyla parçacıkların aynı düzlemden bulunma olasılıkları yanı overlapları artar. Daha büyük engel genişliklerinde ise ($L_b > 20 \text{ \AA}$) bu durumun tersi söz konusudur. $40 \text{ \AA} \leq L \leq 200 \text{ \AA}$ aralığına karşılık gelen (4, 5, 6, 7, 8 ve 9 numaralı eğriler) eğrilere baktığımızda; L_b artıkça overlap fonksiyonunun azaldığını görüyoruz. Çünkü, bu aralıkta zaten parçacıkların efektif uzunluğu arttığinden aynı düzlemden bulunma olasılıkları azalır. Belirli bir L_b değerinden sonra ($L_b \geq 10 \text{ \AA}$) kuyular arası çiftlenim azaldığı için efektif uzunluk da azalır ve bu nedenle overlap artarak sabit bir değere yaklaşır.

Bu sonuçları göz önüne alarak, eksiton yaşam süresi sistemin boyut parametrelerinin amaca yönelik olarak değiştirilmesi ile ayarlanabileceğini söyleyebiliriz.



Şekil 3-14. Simetrik çiftlenimli $GaAs - Ga_{1-x}Al_xAs$ kuantum telinde $F(0)$ -overlap fonksiyonunun engel genişliği L_b 'ye göre değişimi

4. SONUÇ

Bu çalışmada çiftlenimli $GaAs - Ga_{1-x}Al_xAs$ kuantum tellerinin elektronik ve optik özellikleri sistemin fiziksel parametreleri olan tel genişliğine (L_x), tel kalınlığına (L_z) ve engel genişliğine (L_b) bağlı olarak araştırıldı.

Çalışmamızın ilk aşamasında düşük boyutlu sistemler hakkında genel bir kaynak taraması yapıldı. Daha sonra simetrik ve asimetrik çiftlenimli $GaAs - Ga_{1-x}Al_xAs$ kuantum telinde eksiton bağlanması enerjisi varyasyonel olarak hesaplandı. Bunun sonucunda simetrik çiftlenimli $GaAs - Ga_{1-x}Al_xAs$ kuantum telinde eksiton bağlanması enerjisini tel genişliklerinin (L_x, L_z) artmasıyla azaldığı görülmüştür. Bunun nedeni, zayıflayan kuşatılma sonucu yapının bir boyutlu özelliğinin kaybolmasıdır. Çok küçük tel genişliklerinde parçacıklar engellere sızmaya başlar ve eksitonik yapı üç boyutlu gibi davranır, bunun sonucunda bağlanması enerjisi külçe değerine yaklaşır. Çok büyük tel genişliklerinde de benzer bir davranış gözlenir. Çünkü bu genişliklerde kuşatılma çok zayıftır ve yine eksitonik yapı üç boyutlu gibi davranır. Simetrik çiftlenimli $GaAs - Ga_{1-x}Al_xAs$ kuantum telinde engel genişliğinin (L_b) büyütülmesine bağlı olarak kuyular arası çiftlenimin azlığı ve bunun sonucunda bağlanması enerjisini azlığı görülmüştür. Asimetrik çiftlenimli $GaAs - Ga_{1-x}Al_xAs$ kuantum telinde x doğrultusundaki kuyuların genişlikleri sabit tutulup z doğrultusundaki kuyuların genişliklerine göre eksiton bağlanması enerjileri hesaplandığında, yine kuyuların genişliği arttıkça eksiton bağlanması enerjisini azlığı görüldü. Buradaki azalma simetrik çiftlenimli $GaAs - Ga_{1-x}Al_xAs$ kuantum telindeki azalma oranından daha yavaştır.

Bu sonuçlara bakarak sistemin boyut parametreleri (L_x, L_z, L_b) ile düşük boyutlu heteroyapıların elektronik ve optik özelliklerinin amaca yönelik olarak ayarlanması mümkündür. Elde edilen sonuçlara göre sistemin elektronik özelliklerinin boyut parametrelerine oldukça duyarlı olduğu görülmüştür.

Sonuç olarak;

- Sistemin geometrisi eksitonik yapı üzerinde önemli etkilere sahiptir.
- Çiftlenimli $GaAs - Ga_{1-x}Al_xAs$ kuantum telinde eksitonik bağlanma özellikle dar kuyularda çiftlenim parametresine (L_b) oldukça duyalıdır.
- Eksitonik yapıya dayalı optik cihazlarda eksiton yaşam süresinin kısa oluşu temel problemlerden birisidir. Bu sorunu gidermek için sistemin simetrisi bozularak eksiton yaşam süresi artırılabilir. Yapılan deneysel ve kuramsal çalışmalara göre asimetrik yapılarda simetrik yapılara kıyasla önemli farklılıklar kaydedilmiştir.

Ayrıca bildiğimiz kadarıyla şu ana kadar çiftlenimli $GaAs - Ga_{1-x}Al_xAs$ kuantum telinin eksitonik ve optik özelliklerini konusunda bir çalışma yapılmamıştır. Burada kullanılan yöntem ile, çiftlenimli telde elektronik ve optik özelliklerin incelenme olanağı sağlanmıştır.

5. KAYNAKLAR

1. L. Esaki, and R. Tsu, IBM J. Res. Dev. 14, 61 (1970).
2. W. Q. Chen, and T. G. Anderson, Semicond. Sci. Technol. 7, 828 (1992).
3. W. Q. Chen, and T. G. Anderson, Appl. Phys. Lett. 60, 1591 (1992).
4. G. Sanders, and K. K. Bajaj, J. Appl. Phys. 68, 5348 (1990).
5. M. Morita, K. Goto, and T. Suziki, Jpn. Appl. Phys. 29, L1663 (1990).
6. H. Kroemer, and H. Okamoto, Jpn. J. Appl. Phys. 23, 970 (1984).
7. E. J. Austin, and M. Jaros, J. Phys. C19, 533 (1986).
8. P. Yuh, and K. L. Wang, Phys. Rev. B38, 8377 (1988).
9. H. Sari, I. Sokmen, Y. Ergun, S. Elagoz, E. Kasapoglu, and M. Tomak, Superlatt. Microstruct. 23, 5 (1998).
10. H. Haug, *Optical Nonlinearities and Instabilities in Semiconductors* (ed. Academic Press, San Diego, 1988).
11. G. Platero and M. Altarelli, in *Proceedings of 20th International Conference on the Physics of Semiconductors*, edited by E. M. Anastassakis and J. D. Joannopoulos (World Scientific, Singapore, 1990), p. 83.
12. H. Tuffigo, R. T. Cox, N. Magnea, Y. Merle D'Aubigne, and A. Million, Phys. Rev. B37, 4310 (1988); H. Tuffigo, N. Magnea, H. Mariette, A. Wasiela, and Y. Merle D'Aubigne, ibid. 43, 14629 (1991).
13. A. D'Andrea, R. Del Sole, K. Cho, Europhys. Lett. 11, 169 (1990).
14. G. R. Pozina, A. V. Kavokin, V. P. Kochereshko, Uraltsev, D. R. Yakovlev, G. Landwehr, R. N. Bicknell-Tassius, and A. Waag, Solid State Commun. 81, 639 (1992).
15. A. D'Andrea, R. Del Sole, and N. Tomassini, in *Proceedings of The First Italian Workshop on Materials for Photonic Devices*, edited by A. D'Andrea, A. Lapicciarella, G. Marletta, and S. Viticoli (World Scientific, Singapore, 1991), p. 185.
16. L. Esaki, and R. Tsu, *Superlattices and Negative Conductivity in Semiconductors* (IBM Res. Note, RC-2414, 1969).

17. R. Dingle, H. L. Stormer, A. C. Gossard, and W. Wiegmann, *Appl. Phys. Lett.* 33, 665 (1978).
18. S. Mori, T. Ando, *Surface Science* 98, 101 (1980).
19. L.L. Chang, L. Esaki, and R. Tsu, *Appl. Phys. Lett.* 24, 593 (1974).
20. E.E. Mendez, *Physics of Resonant Tuneling in Semiconductors* (Plenum Press, Erice, Sicily, 1987).
21. T. Iskibaski, S. Tarucha, and H. Okamoto, *Inst. Phys. Conf. Sor.* 63, 587 (1981).
22. S. W. Kirchofer, N. Holonyak, K. Hess, D. A. Gulino, H. G. Drickamer, J. J. Coleman, P. D. Daphus, *Appl. Phys. Lett.* 40, 821 (1984).
23. J. A. Brum, and G. Bastard, *Phys. Rev. B* 31, 3893 (1985).
24. H. J. Lee, L. Y. Juravel, J. C. Wolley, and A. J. Springthorpe, *Phys. Rev. B* 21, 659 (1980).
25. A. Balandin and S. Bandyopadhyay, *Superlattices Microstruct.* 19, 2 (1996).
26. F. L. Madarasz, F. Szmulowichz, F. K. Hopkins, and D. L. Dorsey, *Phys. Rev. B* 49, 13528 (1994).
27. R. O. Klepfer, F. L. Madarasz, and F. Szmulowichz, *Phys. Rev. B* 51, 4633 (1995).
28. Gerald Bastard, *Wave Mechanics Applied to Semiconductor Heterostructures* (Halsted, New York, 1988).
29. J. Singh, *Semiconductors Optoelectronics*, edited by Stephen W. Director (Mc Graw-Hill, New York 1995).
30. F. Rossi, G. Goldoni, O. Mauritz, and E. Molinari, *J. Phys.: Condens. Matter* 11, 5969 (1999).
31. H. Akiyama, *J. Phys.: Condens. Matter* 10, 3095 (1998).
32. N. Muthuay, and B. Tanatar, *J. Phys.: Condens. Matter* 9, 3033 (1997).
33. B. Das, S. Bandyopadhyay, and M. R. Melloch, *J. Phys.: Condens. Matter* 12, L35 (2000).
34. Ben G. Streetman, *Solid State Electronic Devices* (Prentice-Hall International, New Jersey, 1990).

35. F. Capasso, and G. Margaritondo, *Heterojunction Band Discontinuities: Physics and Device Applications* (North-Holland, Amsterdam, 1989).
36. S. M. Sze, *Physics of Semiconductors Devices* (Wiley, New York, 1969).
37. M. Jaros, *Physics and Applications of Semiconductor Microstructures* (Clarendon Press, Oxford, 1989).
38. P. Bhattacharya, *Semiconductor Optoelectronic Devices* (Prentice-Hall, New Jersey, 1997).

6. ÖZGEÇMİŞ

Adı Soyadı : Metin GÜNEŞ

Doğum Yeri – Yılı : Mestanlı / Bulgaristan – 1977

Medeni Durum : Bekar

İş Adresi : Cumhuriyet Üniversitesi
Fen Edebiyat Fakültesi Fizik Bölümü
58140 Sivas

İş Telefonu : 0 346 219 10 10 / 1523

Lisans (1995-1999) : Cumhuriyet Üniversitesi
Fen Edebiyat Fakültesi Fizik Bölümü

Yüksek Lisans (1999-2002) : Cumhuriyet Üniversitesi
Fen Bilimleri Enstitüsü Fizik Anabilim Dalı